

UNIVERSIDAD AUTONOMA DE NUEVO LEON

FACULTAD DE CIENCIAS QUIMICAS

DIVISION DE ESTUDIOS SUPERIORES



“ANALISIS DE ALGUNAS CARACTERISTICAS  
FISICAS Y QUIMICAS DE UN BIOPOLIMERO  
PRODUCIDO POR *Klebsiella pneumoniae* EN UN  
PROCESO DE FERMENTACION SIMPLE.”

POR

CARLOS EMILIO OROZCO MAGDALENO

COMO REQUISITO PARCIAL PARA OBTENER

EL GRADO DE

MAESTRIA EN CIENCIAS

CON ESPECIALIDAD EN INGENIERIA CERAMICA

MONTERREY, N. L., MEXICO DE 1999

TM

Z5521

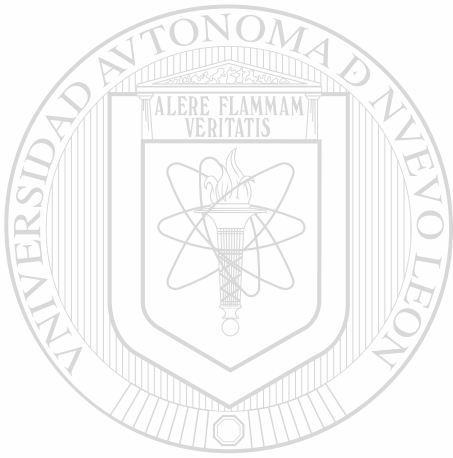
FCQ

1999

07



1020126079



# UANL

---

UNIVERSIDAD AUTÓNOMA DE NUEVO LEÓN

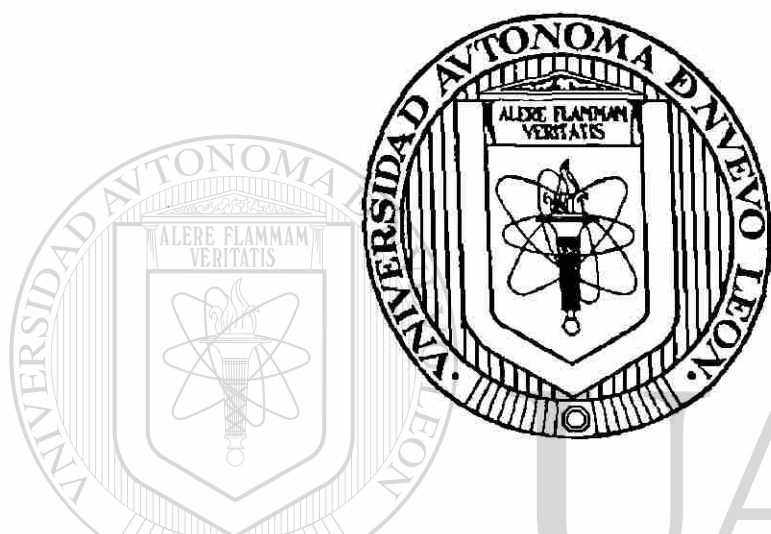


DIRECCIÓN GENERAL DE BIBLIOTECAS

UNIVERSIDAD AUTONOMA DE NUEVO LEÓN

FACULTAD DE CIENCIAS QUÍMICAS

DIVISIÓN DE ESTUDIOS SUPERIORES



“ ANÁLISIS DE ALGUNAS CARACTERÍSTICAS FÍSICAS Y QUÍMICAS DE UN BIOPOLÍMERO PRODUCIDO POR *Klebsiella pneumoniae* EN UN PROCESO DE FERMENTACIÓN SIMPLE.”

DIRECCIÓN GENERAL DE BIBLIOTECAS  
POR

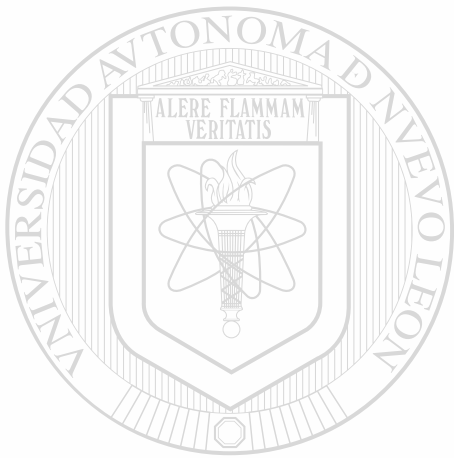
CARLOS EMILIO OROZCO MAGDALENO

Como requisito parcial para obtener el grado de MAESTRÍA EN CIENCIAS  
con Especialidad en Ingeniería Cerámica

FEBRERO DE 1999

711

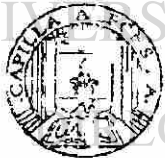
2



# UANL

---

UNIVERSIDAD AUTÓNOMA DE NUEVO LEÓN



**FONDO  
TESIS**

SECCIÓN GENERAL DE BIBLIOTECAS

®

UNIVERSIDAD AUTÓNOMA DE NUEVO LEÓN  
FACULTAD DE CIENCIAS QUÍMICAS  
DIVISIÓN DE ESTUDIOS SUPERIORES



LA TESIS PRESENTADA POR EL Sr. CARLOS EMILIO OROZCO MAGDALENO,  
TITULADA :

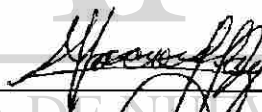
“ ANÁLISIS DE ALGUNAS CARACTERÍSTICAS FÍSICAS Y QUÍMICAS DE UN  
BIOPOLÍMERO PRODUCIDO POR *Klebsiella pneumoniae* EN UN PROCESO  
DE FERMENTACIÓN SIMPLE “

HA SIDO ACEPTADA COMO REQUISITO PARCIAL PARA OPTAR AL GRADO DE  
MAESTRO EN CIENCIAS CON ESPECIALIDAD EN INGENIERIA CERÁMICA



---

MC. SERGIO FERNANDEZ DELGADILLO  
ASESOR Y SINODAL



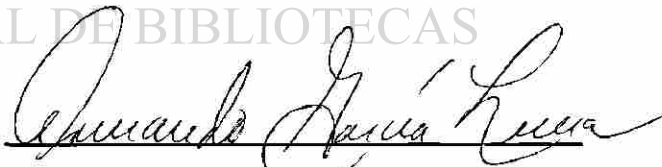
---

Dr. JAVIER MACOSSAY TORRES  
CO-ASESOR Y SINODAL



---

Dr. ERNESTO URETA BARRON  
REVISOR Y SINODAL



---

Dr. ARMANDO GARCÍA LUNA  
REVISOR Y SINODAL



---

MC. MARTHA A. SUÁREZ HERRERA  
COORDINADORA DE LA ESCUELA  
DE GRADUADOS EN CIENCIAS

# CONTENIDO

	página
ÍNDICE DE ESQUEMAS	iii
ÍNDICE DE FIGURAS	iii
ÍNDICE DE TABLAS	iv
ABREVIATURAS	v
<b>CAPITULO 1</b>	
1.1 Introducción	1
1.2 Objetivos	16
<b>CAPITULO 2 MATERIALES Y MÉTODOS.</b>	
2.1 Descripción de equipos y reactivos	17
2.1.1 Reactivos	17
2.1.2 Equipos	19
2.2 Obtención del microorganismo	20
2.3 Diseño del medio de cultivo empleado	20
2.4 Función de los micronutrientes	22
2.5 Composición del medio empleado	22
2.6 Composición de los micronutrientes	23
2.7 Escalamiento	23
2.8 Proceso de fermentación	25
2.9 Curva de crecimiento	27
2.10 Determinación de azúcares reductores (3,5 DNS)	29
2.10.1 Preparación de los reactivos	30
2.10.2 Preparación de la curva de calibración	30
2.10.3 Preparación de las muestras	31
2.11 Determinación del pH	31
2.12 Obtención del exopolisacárido	32
2.13 Técnicas instrumentales de caracterización	34
2.13.1 Análisis del EPS por FT-IR	34
2.13.2 Análisis del EPS por RMN	36
2.13.3 Análisis térmico de EPS	40
2.13.3.1 Análisis termogravimétrico (TGA)	41
2.13.3.2 Análisis térmico diferencial (DTA)	42
2.13.4 Espectroscopia de absorción atómica	44
2.13.5 Cromatografía	45
2.13.6 Propiedades reológicas del EPS	49

<b>CAPITULO 3 RESULTADOS.</b>	
3.1 Identificación del microorganismo	51
3.2 Curva de calibración	52
3.3 Parámetros de la fermentación	53
3.4 Resultados de obtención de exopolisacárido	57
3.5 Resultados de FT-IR	59
3.6 Análisis térmico de exopolisacárido	62
3.7 Análisis del agente polimerizante por absorción atómica	65
3.8 Análisis del exopolisacárido por RMN	66
3.9 Análisis de la viscosidad del exopolisacárido	69
3.10 Cromatografía	70
<b>CONCLUSIONES</b>	<b>72</b>
<b>APENDICE</b>	
Figuras del microorganismo	73
Figuras de la fermentación	74
Figuras del proceso de separación del exopolisacárido	75
Figuras del biopolímero en película	76
Figuras del biopolímero húmedo y seco	77
<b>REFERENCIAS</b>	<b>78</b>

---

UNIVERSIDAD AUTÓNOMA DE NUEVO LEÓN

DIRECCIÓN GENERAL DE BIBLIOTECAS



ÍNDICE DE ESQUEMAS	pagina
1.1 Amilosa	2
1.2 Amilopectina	3
1.3 Celulosa	4
1.4 Quitina	5
1.5 Poliéster	8
1.6 Xantano	12
1.7 Gelano	13

## ÍNDICE DE FIGURAS

2.1 Diagrama de flujo de la fermentación batch para la obtención de exopolisacárido	24
2.2 Curva de crecimiento típica de un proceso fermentativo de los microorganismos	29
2.3 Diagrama de flujo de la obtención del exopolisacárido	33
2.4 Termograma típico de una reacción de descomposición	42
2.5 Curva típica de un análisis térmico diferencial	43
2.6 Diagrama de flujo para la identificación de azúcares reductores	48
3.1 Curva de calibración de azúcares reductores	53
3.2 Curva de crecimiento y determinación de azúcares reductores	55
3.3 Curva de crecimiento y determinación del pH	56
3.4 Evolución de la producción del exopolisacárido	57
3.5 pH y concentración de EPS en función del tiempo	59
3.6 Espectro de FT-IR del exopolisacárido	60
3.7 Espectro de FT-IR del exopolisacárido hidrolizado con NaOH al 3 %	61
3.8 Espectros del EPS hidrolizado y sin hidrolizar	62
3.9 Análisis térmico del exopolisacárido a las 3 hrs	64
3.10 Análisis térmico del exopolisacárido a las 15 hrs	64
3.11 Análisis térmico del exopolisacárido a las 24 hrs	64
3.12 Espectro de RMN <sup>1</sup> H del blanco	67
3.13 Espectro de RMN <sup>1</sup> H de la muestra	68
3.14 Viscosidad del exopolisacárido en función de la velocidad de rotación del viscosímetro	69
3.15 Resultados de la cromatografía en papel	70

## ÍNDICE DE TABLAS

2.1	Parámetros al inicio de la fermentación	26
2.2	Estándares para azúcares reductores mediante el método ácido 3,5-DNS	30
2.3	Tiempos de toma de muestras	32
2.4	Núcleos adecuados para el estudio de RMN	38
2.5	Solubilidad del exopolisacárido en diferentes solventes	39
3.1	Pruebas bioquímicas	51
3.2	Resultados de los estándares de azúcares reductores	52
3.3	Cambios físicos ocurridos durante la fermentación	56
3.4	Resultados de los pesos obtenidos del exopolisacárido a diferentes tiempos	57
3.5	Comparación de resultados de obtención de exopolisacárido con otros microorganismos	58
3.6	Comparación de temperaturas de descomposición de exopolisacáridos	61
3.7	Concentración de iones metálicos divalentes	65
3.8	Comparación de los elementos encontrados en % en peso con la goma de xantano	65
3.9	Resultados de las viscosidades obtenidas con diferentes velocidades de rotación con 3 diferentes rotores	66
3.10	Comparación de los $R_f$ de la muestra y estándares de azúcares	70
		71

UNIVERSIDAD AUTÓNOMA DE NUEVO LEÓN



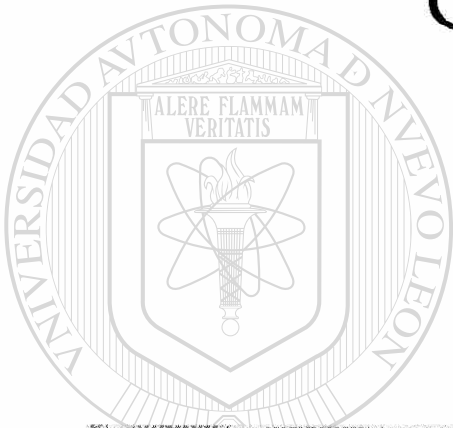
DIRECCIÓN GENERAL DE BIBLIOTECAS

## ABREVIATURAS

°C	Grados centígrados
EPS	Exopolisacárido
TGA	Análisis termogravimétrico
DTA	Análisis termodiferencial
R.P.M.	Revoluciones por minuto
RMN	Resonancia magnética nuclear
FT-IR	Transformada de Fourier-Infrarrojo
PHA	Polihidroxiálcanoatos
PHB	Polihidroxiobutiratos
CMC	Carboximetilcelulosa
D.O	Densidad óptica
pH	Potencial de hidrógeno
$\lambda$	Longitud de onda
nm	Nanómetros
<hr/>	
Um	Micromoles
Ug	Microgramos
$\alpha$	Infinito
g/l	Gramos sobre litro
ml	Mililitro
Lt	Litro



# CAPITULO 1



UANI

## INTRODUCCIÓN

UNIVERSIDAD AUTONOMA DE NUEVO LEON

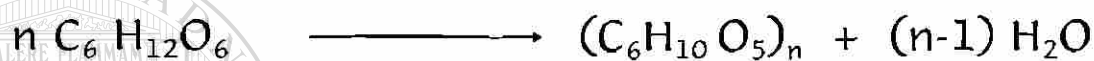


DIRECCIÓN GENERAL DE BIBLIOTECAS

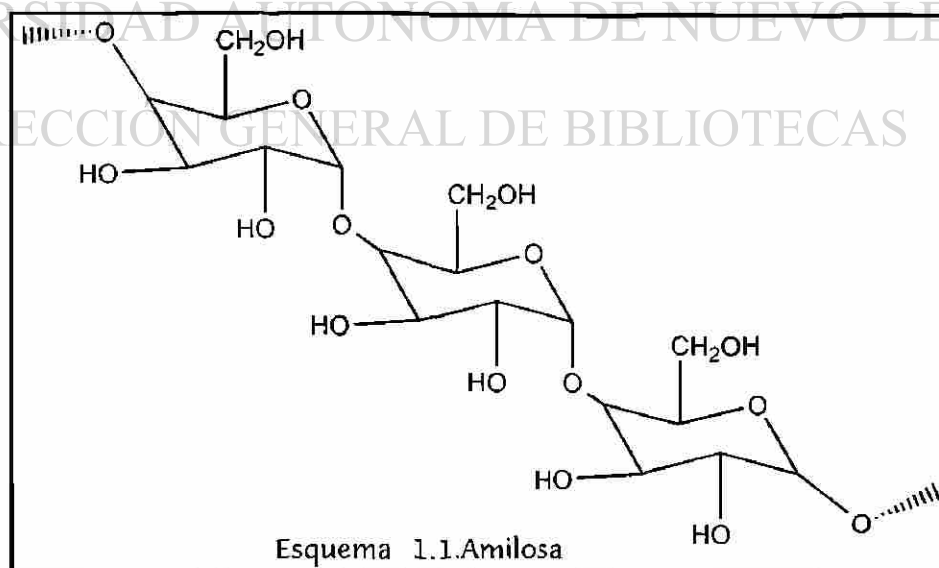
## 1 INTRODUCCIÓN.

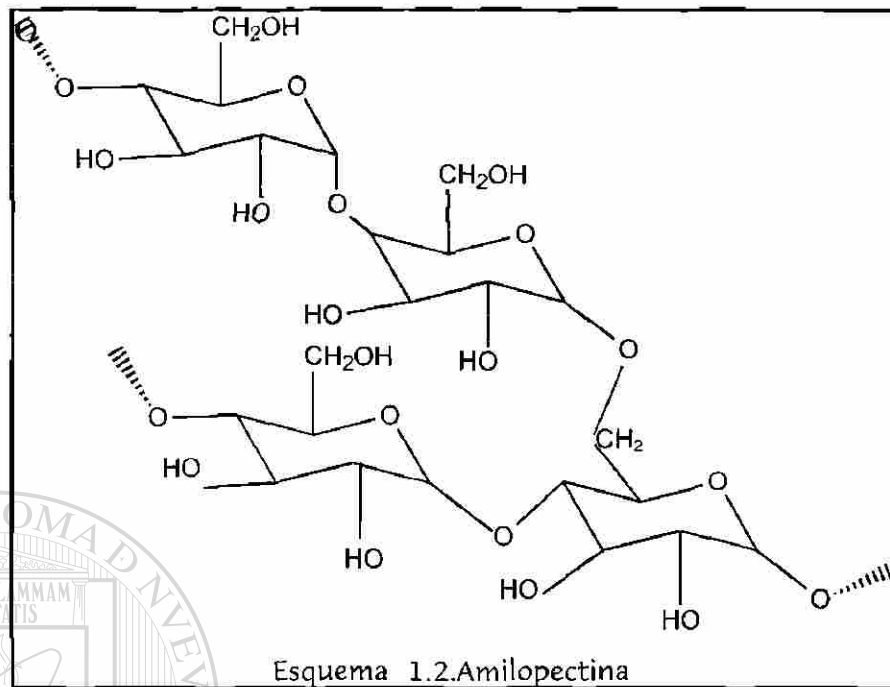
Los biopolímeros son macromoléculas naturales cuyas propiedades físicas y químicas dependen de sus propiedades estructurales y de sus funciones metabólicas. Entre las macromoléculas que se incluyen en esta clase se encuentran los polinucleótidos, las proteínas, los polipéptidos y los polisacáridos. Estos biopolímeros se derivan de fuentes biológicas naturales en los cuales desarrollan funciones especiales tales como: El transporte de la información genética que conlleva el proceso de replicación y síntesis de proteínas, el cual es efectuado por los polinucleótidos; Los polipéptidos y proteínas, que son moléculas que catalizan todas las reacciones químicas de origen biológico como por ejemplo ; las realizadas durante el transporte de oxígeno, el movimiento muscular, la respuesta nerviosa, el almacenamiento de nutrientes, la regulación hormonal, y también participan en la conformación estructural, etc. Los polisacáridos son macromoléculas de origen natural que se pueden encontrar tanto en plantas, caparazones de crustáceos y microorganismos, teniendo funciones como la de almacenar información en su molécula, servir como soporte estructural confiriéndoles resistencia mecánica y servir como reservorio etc., por lo que son la categoría más grande de la familia de los biopolímeros. Más de 100 azúcares y derivados de los azúcares son viables como monómeros para la síntesis de polisacáridos.

El término polisacárido es aplicable a los polímeros que pueden o no contener estructuras que se repiten periódicamente en el cual el grupo dominante, pero no necesariamente exclusivo, está unido por enlaces tipo glucosídicos, que son formados mediante una condensación entre el grupo hidroxilo del carbono anomérico de un monosacárido o un residuo de monosacárido y un segundo compuesto que puede ser o no otro monosacárido con la consecuente eliminación de agua.<sup>[30, 32]</sup>



Los enlaces covalentes que unen a las unidades monoméricas pueden presentarse en diferentes posiciones del anillo glucosídico formándose cadenas lineares como las amilosas (esquema. 1.1), y ramificadas como las amilopectinas (esquema 1.2)<sup>[30,32]</sup> encontrándose ambos tipos en el almidón.

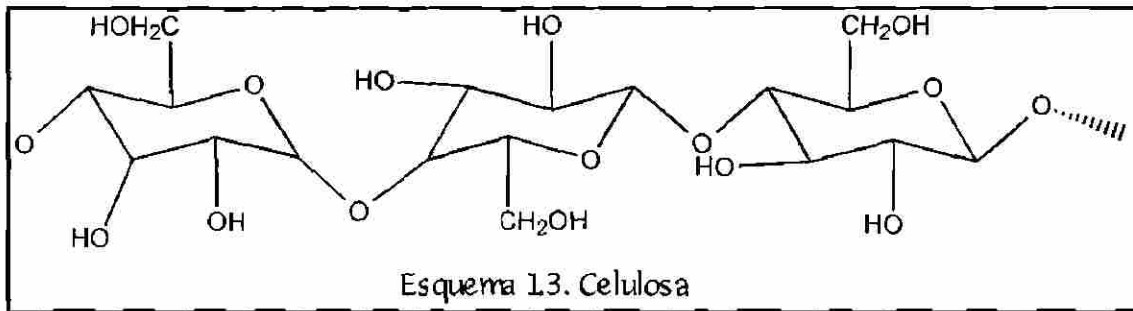




Existen varios tipos de polisacáridos, entre los cuales encontramos a los homopolímeros que están formados por subunidades de la misma estructura monomérica, así como los que están formados de diferentes subunidades estructurales monoméricas llamadas heteropolímeros.<sup>[3]</sup>

Entre los homopolímeros encontramos al almidón que contiene unidades de  $\alpha$ -glucosa, y la celulosa que contiene unidades de  $\beta$ -glucosa (esquema 1.3), ambas estructuras están hechas de isómeros de glucosa que difieren solamente en la posición de el enlace en el C-1.<sup>[30, 32, 21,28]</sup>

Entre los heteropolisacáridos podemos mencionar las galactomanosas (compuesto de galactosa y manosa), arabinoxilanos (compuesto de arabinosa y xilanos), peptidoglucanos, etc.

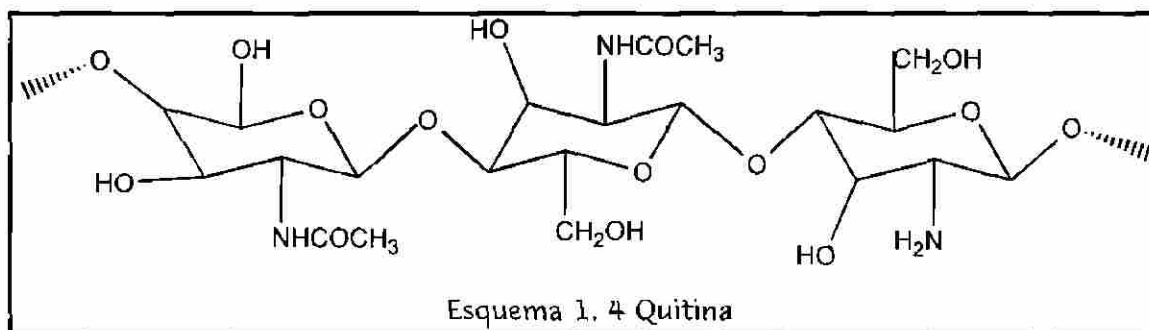


El desarrollo de los materiales basados en la ciencia y la tecnología ha resultado en grandes logros en beneficio de la humanidad, teniendo como consecuencia diversas y nuevas alternativas en el campo de los materiales. Una de estas nuevas alternativas se desarrolla en el campo de la ciencia de los polímeros naturales, esto se debe a que en las últimas seis décadas del siglo XX, los materiales poliméricos industriales han sido basados en polímeros sintéticos de origen petroquímico.<sup>[8]</sup> Sin embargo, a partir de los años setentas la preocupación por el medio ambiente y su progresivo deterioro da paso a la búsqueda de nuevas alternativas, principalmente en la ciencia y tecnología de los polímeros de origen natural, en la cual se desea que contenga la misma capacidad de resistencia y facilidad de elaboración que los polímeros sintéticos pero con una tendencia a la biocompatibilidad con el medio ambiente. Ante este reto surge la industria química de los materiales, en especial aquellos que se derivan de procesos biológicos naturales como por ejemplo los de las plantas, animales y microbiológicos, obteniéndose la formación de biopolímeros.



Entre los polímeros naturales de mayor importancia industrial encontramos a la celulosa (esquema 1.3), el cual es el componente más abundante de las fibras de las maderas y de las plantas, encontrándose casi pura en las fibras de algodón siendo constituido este biopolímero por unidades monoméricas de  $\beta$ -D-(+)-glucopiranososa (1 $\rightarrow$ 4).<sup>[30, 32, 28]</sup>

Los derivados de la celulosa son ampliamente utilizados comercialmente, por ejemplo, el acetato de celulosa es ampliamente utilizado en la industria del plástico, fibra, papel, etc. El glucógeno es un polisacárido de origen animal que ejemplifica a los carbohidratos que se almacenan para su posterior liberación cuando el metabolismo lo exige.<sup>[28,32]</sup> La quitina (esquema 1.4) es el segundo polisacárido más abundante en la naturaleza y esta formado por unidades de N-acetil-D-glucosamina unidas por enlaces  $\beta$ (1 $\rightarrow$ 4) glucosídicos, presentándose principalmente como constituyente de los caparazones de crustáceos, insectos, hongos y algunas levaduras.<sup>[28, 32]</sup>



Desde el inicio del presente siglo ya se mencionaba en la literatura la formación de materiales poliméricos a partir de microorganismos, encontrados muchas de las veces como resultado de experimentos y en los cuales, al final se evaluaban las propiedades fisicoquímicas de los biopolímeros.<sup>[8]</sup> Estos polisacáridos de origen microbiano se pueden encontrar: como inclusiones intracelulares que actúan como material de reserva o reguladores, como por ejemplo; el glucógeno, el polihidroxiacetato (PHA), el polihidroxiacetato (PHB), y otros materiales relacionados (polihidroxiácidos), los cuales mantienen a los sustratos en una forma inaccesible a las enzimas metabólicas y ejercen muy poca presión osmótica, en ellos se puede encontrar que la secuencia de monómeros se representa por un grupo repetitivo de subunidades; y como polisacáridos extracelulares, que podemos encontrar como material mucilaginoso extracelular en forma de cápsulas o limos en donde las subunidades pueden ser desde disacáridos hasta hexasacáridos. Esta formación de material mucilaginoso extracelular por parte de los microorganismos, generó un amplio interés ya que reflejan su respuesta inmediata a cambios en su medio ambiente, y se refleja en la acumulación de exopolisacáridos que le permiten una fuerte adhesión a superficies sólidas así, como también genera cambios en los flujos de soluciones acuosas cuando este lo contiene.<sup>[17,9]</sup> Estos polisacáridos microbianos son sintetizados mediante reacciones multienzimáticas dentro de la célula. Aunque no han sido totalmente elucidadas las rutas biosintéticas, el proceso en general es el siguiente; las unidades oligosacáridas se sintetizan a partir de precursores, azúcares activados

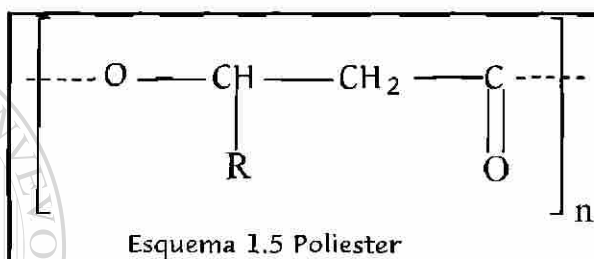
en la forma de azúcar-nucleótidos-fosfatados, los cuales se unen secuencialmente a un lípido isoprenoide conocido también como lípido portador de antígeno (LPA) en donde se sintetizan las unidades monoméricas que son transferidas a otro lípido isoprenoide para iniciar la polimerización. El lípido también sirve como transportador del polímero formado a través de la membrana celular de donde es liberado. En este procedimiento existen varias posibilidades de control biosintético; la forma de incorporación del sustrato, y la disponibilidad de precursores como la UDP-glucosa o el lípido isoprenoide. Existe otra síntesis de polisacáridos, la cual consiste de procesos de acoplamiento de unidades repetitivas utilizando un lípido intermediario. Este mecanismo parece ser utilizado en la síntesis de polímeros extracelulares. Todavía no se tiene completamente establecido el mecanismo de terminación de la polimerización, y en algunos casos el polisacárido contiene substituyentes ácidos o cetálicos que dan ciertas características reológicas especiales al polisacárido en solución. El mecanismo exacto de excreción también no es conocido totalmente y puede constituir otro nivel de control de la biosíntesis de polisacáridos.<sup>[26, 6,33]</sup>

Entre los polisacáridos de origen microbiano podemos encontrar una gran variedad de biopolímeros, los cuáles podemos clasificar en :

- a).- Inclusiones intracelulares
- b).- Polisacáridos extracelulares.

Entre los polisacáridos intracelulares se encuentran algunos que tienen interés industrial como los polihidroxiálcanoatos (PHA), polihidroxi-butiratos (PHB), poli(hidroxi-butirato-co-hidroxi-valerato) etc., los cuales tienen la característica común de ser poliésteres (esquema 1.5)

[3,8,33]



Estos poliésteres se encuentran como reservorio intracelular en una gran variedad de bacterias, entre las cuales podemos citar a *Alcaligenes eutrophus*, *Azotobacter methylo-trophs*,<sup>[34]</sup> etc.

Los primeros poliésteres fueron observados primeramente por Lemoigne en 1925<sup>[3,35]</sup> en donde los trabajos en esta área en la década de los 60's y 70's a través de varios laboratorios, llevó al entendimiento de su síntesis, rutas metabólicas y regulación metabólica de PHB y PHA.

Estos poliésteres han sido producidos desde 1982<sup>[19]</sup> como poliésteres biodegradables que han venido a ser utilizados como substituyentes de los plásticos derivados del petróleo, exhibiendo un amplio rango de propiedades termomécnicas.<sup>[19,3,34,35]</sup>

Existen reportes acerca de que bacterias, algas, hongos y levaduras suelen producir polisacáridos extracelulares con diferentes estructuras químicas y propiedades físicas.<sup>[26,6]</sup> Estos exopolisacáridos producidos por microorganismos presentan un carácter hidrofílico predominante, esto es debido a que su estructura esta compuesta por grupos -OH, -NH<sub>2</sub>, -COOH, -O-, -SH, etc. Como consecuencia, su uso industrial esta más extendido en su capacidad para modificar las propiedades reológicas de sistemas acuosos<sup>[6,8,26]</sup>, adicionalmente estos microorganismos son capaces de sobrevivir en condiciones extremas adversas, ya que su presencia ha sido encontrada en altas concentraciones de sales, aguas alcalinas y ácidas en donde ellos proliferan.<sup>[17]</sup>

todavía no es completamente clara la síntesis, pero es aceptado que la síntesis de exopolisacárido juega un rol importante en la supervivencia y crecimiento de los microorganismos en un amplio rango de condiciones.<sup>[6,26,5]</sup> en donde las funciones que presentan la formación de exopolisacáridos por los microorganismos son las siguientes; autoprotección contra la desecación, protección contra depredadores, barrera para la difusión envolviendo o uniendo los iones metálicos, adhesión a superficies sólidas.<sup>[5,17]</sup>

Algunas de las características intrínsecas de los polisacáridos microbianos son : <sup>[20,51]</sup>

- 1-. Alta viscosidad a bajas concentraciones.
- 2-. Propiedades gelantes.
- 3-. Compatibilidad con altas concentraciones de sales.
- 4-. Alta solubilidad en agua y conducta anticongelante.
- 5-. Polielectrolito y potencial de intercambio iónico.
- 6-. Capacidad floculante, dispersante y versatilidad de adhesión.
- 7-. Biodegradabilidad.

En general, podemos decir que las propiedades de los exopolisacáridos dependen principalmente de la rigidez de la estructura molecular que pueda adoptar el biopolímero. <sup>[2,610]</sup> Adicionalmente podemos mencionar que se encuentran microorganismos que producen dos tipos de gomas extracelulares; las que forman una capa alrededor del microorganismo o capsulares, y aquellas que se solubilizan en el medio de cultivo incrementando, sustancialmente, la viscosidad del caldo de fermentación. <sup>[26,2]</sup>

Definida de manera convencional una goma es un material polimérico que puede disolverse o dispersarse en agua para formar soluciones, suspensiones de alta viscosidad o geles.

Las gomas las podemos clasificar en tres grupos :

Gomas naturales : Provenientes de exudados de arboles (arábica, tragacanto, etc.), extractos de semillas (guar, algarrobo), algas marinas (agar, alginatos, carragenina), proteínas animales (gelatina, caseína), proteínas vegetales (soya), y gomas microbianas (dextrana, xantana).<sup>[26]</sup>

Gomas modificadas o semisintéticas : Derivados de las celulosa (carboximetilcelulosa, metilcelulosa), almidones (acetatos de almidón, dextrinas).

Gomas sintéticas : Derivados petroquímicos tales como , sales del ácido poliacrílico, polietilenglicol, polivinilpirrolidina.

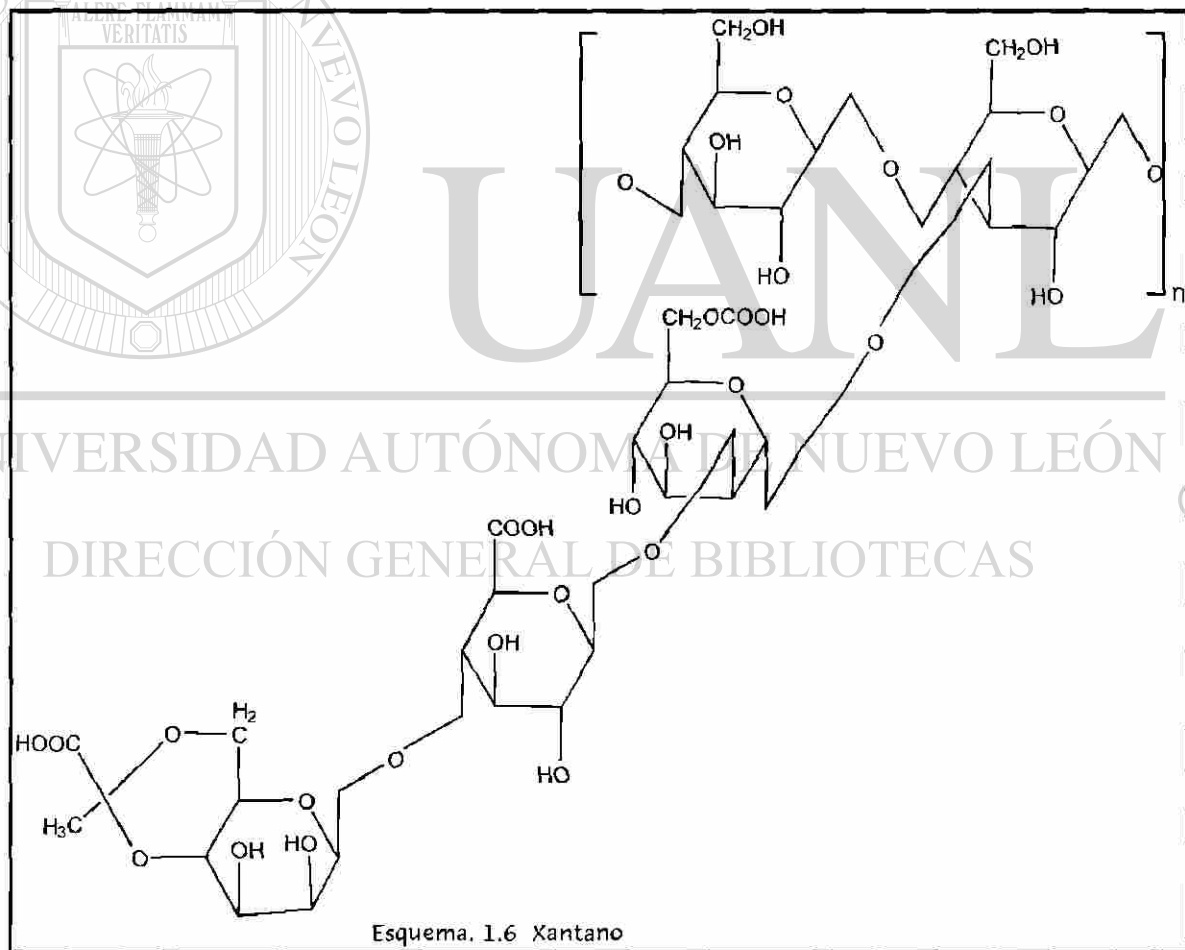
Su uso industrialmente se debe principalmente a su capacidad de alterar las propiedades de flujo de sistemas acuosos, ya sea como viscosificante, gelificante ó agentes de suspensión.<sup>[20,26,30]</sup> También se ha encontrado

que algunos microorganismos (bacterias de silicato), productores de exopolisacáridos (principalmente heteropolisacáridos), mejoran las propiedades de las arcillas debido a que el exopolisacárido unido a la arcilla actúa como resina durante el quemado<sup>[18]</sup>.

El primer exopolisacárido producido comercialmente fue la goma de xantano, la cual es obtenida de *Xanthomonas campestris* siendo un polímero ramificado con unidades monoméricas de glucosa, manosa y ácido glucurónico<sup>[2,9,26]</sup> (esquema 1.6).

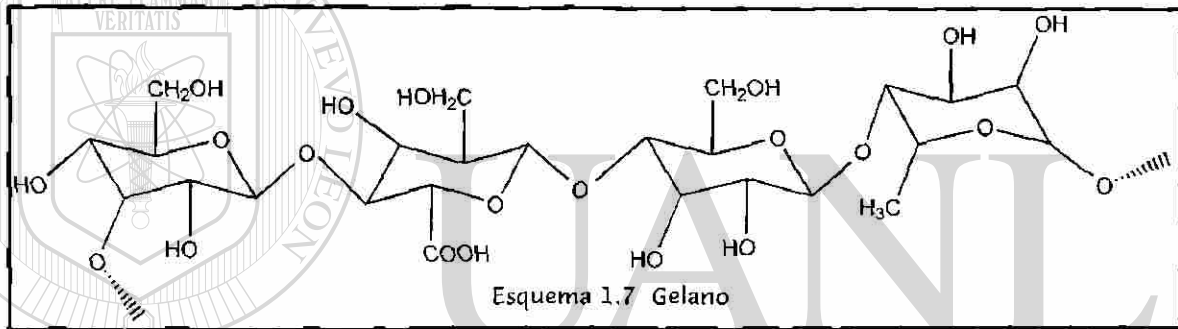
Este es quizás el polisacárido que ha sido sujeto a mayor cantidad de estudios relacionados con sus propiedades físicas y estructura química, siendo producido a escala industrial y utilizada como aditivo espesante y gelificante en los alimentos, en cerámica para suspender los componentes de los barnices, en la industria textil para evitar que se corran los colorantes, y en la industria farmacéutica y cosmética como agente estabilizante de medicamentos y texturizador de cosméticos.<sup>[20,</sup>

21,26]





Entre otros exopolisacáridos producidos por microorganismos podemos mencionar a la goma de gelano<sup>[16]</sup> (esquema 1.8) producido por *Pseudomonas elodea*,<sup>[2,6]</sup> el cual es un exopolisacárido iónico de gran interés industrial debido a las propiedades reológicas que presenta en soluciones acuosas. El pululan es un polisacárido producido a partir del almidón por una levadura llamada *Aureobasidium pullulans*, mientras que el microorganismo *Alcaligenes faecalis varmyxogenes* produce una goma llamada curdlano.<sup>[2,6]</sup>



Todos los polisacáridos producidos por microorganismo tienen también otras aplicaciones futuristas en el área médica tales como ser utilizados para la formación de injertos vasculares.<sup>[3,6]</sup> Otro rol importante que juegan los biopolímeros es el de actuar como depresante ya que separa selectivamente minerales de otros minerales. Hay numerosos reportes sobre la aplicación de carboximetilcelulosa (CMC) como depresante para talco y otros minerales de magnesia presentes como impurezas en varios minerales de sulfato.<sup>[11]</sup>

El presente trabajo tiene como objetivo la obtención de exopolisacáridos a partir de fuentes microbianas, debido a que se ha observado que los exopolisacáridos dentro de sus características intrínsecas tienen gran adhesividad a sustratos sólidos, gracias a que contiene grupos hidrofílicos que forman parte de su estructura, resultando por lo tanto atractiva y concebible su utilización en ciertos materiales sólidos con la finalidad de mejorar ciertas propiedades o de protegerlos contra condiciones naturales adversas. Adicionalmente su estructura esta compuesta de grupos glucosídicos principalmente, permitiéndole a los exopolisacáridos modificar las propiedades reológicas de ciertas soluciones acuosas ya sea por gelación o por cambios en su flujo característico, adicionalmente, el de saber cuanto calcio y magnesio se llega a incorporar en la red del biopolímero ya que algunos reportes de investigadores dan por hecho que la gelación de algunos biopolímeros se debe a la atracción electrostática que se genera entre los grupos funcionales carboxilatos sobre el polisacárido y los iones divalentes resultando en un efecto de puentes y entrecruzamientos entre las cadenas de polímeros,® impartiendo mayor estabilidad a la película y mayor resistencia al corte; estas características permiten la utilización en diferentes áreas, como, por ejemplo, el de ser un agente que mejora el control en el recubrimientos de aceites, y en la industria petrolera para mejorar la extracción de aceites, en los fluidos de perforación tiene el objetivo de reducir la viscosidad a altas velocidades de corte necesarias para lubricar la barrena durante la perforación.<sup>[20, 21, 26]</sup>

Todo esto constituye un buen ejemplo de como una sustancia de origen biológico puede ser producida y manipulada para su utilización industrial.<sup>[12]</sup> El fin de utilizar y producir biopolímeros de origen microbiano radica en la ventaja de que su producción no depende de condiciones climáticas ni de recolección, y si en la factibilidad de utilizar varias materias primas para su producción. Además de contar con mayor uniformidad en sus propiedades, pureza y características intrínsecas, puesto que su biosíntesis es en general muy específica. Todo esto aunado a que los biopolímeros de origen animal y vegetal son fuentes agotables y su recuperación tardaría mas tiempo en comparación de los producidos y obtenidos por los microorganismos, los cuales son fuentes renovables, sin embargo, hasta este momento la mayor desventaja que tiene la producción de biopolímeros mediante microorganismos es el alto costo de obtención.

Nuestro principal interés en este trabajo es estudiar las características de un polímero encontrado en la industria de alimentos como contaminante de los equipos usados en la producción o envasado de alimentos, que es producido durante la formación de un biofilm por el crecimiento de microorganismos contaminantes, que presenta problemas de disolución o destrucción por parte de las sustancias químicas que regularmente son utilizadas como detergentes o desinfectantes en este tipo de industria.

1.1 OBJETIVOS.

- 1-. Obtener exopolisacárido mediante una fermentación simple.
- 2-. Seguir algunos parámetros físicos y químicos de la formación del exopolisacárido.
- 3-. Estudiar el exopolisacárido mediante diferentes técnicas de caracterización.
- 4-. Estudiar sus propiedades reológicas del exopolisacárido



UANL

---

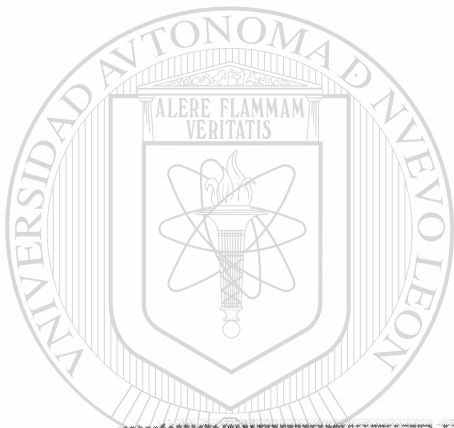
UNIVERSIDAD AUTÓNOMA DE NUEVO LEÓN

DIRECCIÓN GENERAL DE BIBLIOTECAS





## CAPITULO 2



UANI

MATERIALES Y METODOS

UNI



DIRECCIÓN GENERAL DE BIBLIOTECAS

## 2.- MATERIALES Y MÉTODOS.

## 2.1 DESCRIPCIÓN DE EQUIPOS Y REACTIVOS.

## 2.1.1 REACTIVOS.

FORMULA	NOMBRE	MARCA	PUREZA(%)
$\text{HOCH}_2\text{CH}(\text{CHOH})\text{O}$	Dextrosa anhidra.	Baker Analyzed	
$\text{Na}_2\text{MoO}_4 \cdot 2\text{H}_2\text{O}$	Molibdato de sodio dihidratado	Mallinckrodt Chemical	99-102
$\text{CaCl}_2 \cdot 2\text{H}_2\text{O}$	Cloruro de calcio dihidratado	PQM	97.3
$\text{FeSO}_4 \cdot 7\text{H}_2\text{O}$	Sulfato de fierro heptahidratado	CTR	99
$\text{MnSO}_4 \cdot \text{H}_2\text{O}$	Sulfato de manganeso hidratado	PQM	98-100
$\text{CaSO}_4 \cdot 2\text{H}_2\text{O}$	Sulfato de calcio dihidratado	Mallinckrodt Chemical	99.2
$\text{ZnSO}_4 \cdot 7\text{H}_2\text{O}$	Sulfato de zinc heptahidratado	PQM	99
$\text{MgSO}_4 \cdot 7\text{H}_2\text{O}$	Sulfato de magnesio heptahidratado	Baker Analyzed	100
$\text{KNaC}_4\text{H}_4\text{O}_6 \cdot 4 \text{H}_2\text{O}$	Tartrato de sodio y potasio heptahidratado	J.T. Baker	100
$\text{NaOH}$	Hidróxido de sodio	Baker Analyzed	97.1
$\text{C}_7\text{H}_4\text{N}_2\text{O}_7$	Ácido 3,5 DNS	Sigma	

FORMULA	NOMBRE	MARCA	PUREZA (%)
$K_2HPO_4$	Fosfato ácido de dipotasio	P.Q.M	98.6
$CH_3CH_2OH$	Etanol	C.T.R	99.5
$CaCl_2$	Cloruro de calcio	Baker Analyzed	99
$NH_4OH$	Hidróxido de amonio	Baker Analyzed	28.9
$CH_3CN$	Acetonitrilo	Aldrich	99.9
$(CH_3)_2SO$	Dimetilsulfoxido	P.Q.M	99.8
$C_3H_7NO$	NN-dimetilformamida	Merck	99
$C_2H_8O$	Tetrahidrofurano	Aldrich	99.1
	Medio MRVP	Bioxon	
	Extracto de levadura	Bioxon	
	Caldo nutritivo	Bioxon	
	Agar citrato de simmons	Difco	
	Agar para Pseudomonas	Difco	
	Agar doble azúcar russell	Difco	

UNIVERSIDAD AUTÓNOMA DE NUEVO LEÓN

DIRECCIÓN GENERAL DE BIBLIOTECAS

## 2.1.2 EQUIPOS.

NOMBRE	MARCA
pH-metro	Beckman 50pH meter
Centrífuga	Baxter Medifuge 3632
Agitador	Lab-line Instruments 3518
Microscopio	Leitz
Espectrofotómetro UV-VIS	Perkin-Elmer Lambda 12
Balanza analítica	Sartorius basic BA 160p
Espectrofotómetro de A.A.	Varian SpectrAA
Viscosímetro	Brookfield THA
Microferm®Fermentor	New Brunswick
Espectrofotómetro de RMN	Bruker amx serie 400
Analizador térmico TGA/DTA	TA Instruments 2100
Espectrofotómetro FT-IR.	Perkin-Elmer Paragon 1000 c
Espectrofotómetro UV/VIS	Coleman junior II 6/20



## 2.2 OBTENCIÓN DEL MICROORGANISMO.

El cultivo se obtuvo a raíz de un problema industrial, en el cual se observaba la producción de una alta viscosidad, desarrollada a partir del crecimiento de microorganismos sobre una fuente carbonada residual y en períodos cortos de tiempo; esta viscosidad sugiere una alta acumulación de exopolisacáridos, los cuales son producidos y excretados por los microorganismos como mecanismo de supervivencia y destoxificación, ya que éste es expuesto a diferentes concentraciones de ácidos y bases para disolverlo durante los procesos de saneamiento, lo cual no es logrado totalmente, por este motivo se generó el interés de producirlo a nivel laboratorio para evaluar sus propiedades reológicas y posible aplicación en materiales cerámicos. Los microorganismos se aislaron y se identificaron como un bacilo gram negativo del genero *Klebsiella pneumoniae*.

## 2.3 DISEÑO DEL MEDIO DE CULTIVO EMPLEADO.

### DIRECCIÓN GENERAL DE BIBLIOTECAS

El diseño del medio de cultivo líquido se llevo a cabo buscando la acumulación de exopolisacárido y no de crecimiento celular, lográndose este objetivo mediante una relación de fuente carbonada mayor que la fuente nitrogenada, debido a que es bien conocido que muchos microorganismos aerobios y anaerobios acumulan exopolisacárido bajo condiciones de limitación de nutrientes y con una adecuada fuente de carbono.<sup>[2,6,10]</sup>

Este efecto se debe a una seria limitación de material nutritivo que afecta los procesos fisiológicos y bioquímicos normales del microorganismo, el cual se ve obligado a secretar exopolisacárido como medio de supervivencia a fluctuaciones de temperatura, desecación, protección contra compuestos tóxicos, depredación y resistencia a ataques químicos y físicos.<sup>[2,6]</sup> Asimismo, otro efecto que se observa por la limitación de fuente de nitrógeno en el medio de cultivo es que la enzima depolimerasa esta ausente, esto debido a que las vías biosintéticas de aminoácidos se ven afectadas con la consecuente supresión de la actividad de la enzima depolimerasa, la cual, si estuviera presente, rompería los enlaces de polisacáridos evitando la formación y acumulación de exopolisacárido.<sup>[3,5,6]</sup> El medio de cultivo contiene otros nutrientes como fosfatos, los cuáles son una fuente de energía por lo que tiene un marcado efecto en el crecimiento celular. La producción de exopolisacáridos se da a bajas concentraciones de fosfatos, ya que, un alto contenido originaría que la producción de exopolisacárido decreciera considerablemente<sup>[10]</sup>; también se tiene reportado que medios con bajas concentraciones o deficiencias de fosfatos poseen la particularidad de originar soluciones ligeramente ácidas (pH 5.6-4.5), en algunas fermentaciones, pero en general la acidificación de las soluciones originaria una disminución de la viscosidad.<sup>[12]</sup> Adicionalmente, se ha observado que el contenido de  $Mgso_4 \cdot 7H_2O$  tiene un marcado incremento en la producción de exopolisacárido en concentraciones que van de 0.1-0.3 g/l de acuerdo con lo reportado en bibliografía.<sup>[10]</sup>

## 2.4 FUNCIÓN DE LOS MICRONUTRIENTES.

Se ha observado que la función de los micronutrientes sobre el crecimiento bacterial y la formación de exopolisacárido tiene un efecto marcado. Altas concentraciones de las sales inorgánicas incrementan el crecimiento celular disminuyendo simultáneamente la formación de exopolisacárido<sup>[10]</sup>; por otro lado, se ha observado que la adición de sales inorgánicas divalentes tienen un efecto marcado en la gelación de los biopolímeros, ya que la atracción electrostática que se genera por la interacción entre los grupos funcionales y los cationes divalentes da como resultado un efecto de puenteo entre las cadenas poliméricas generando entrecruzamientos, dando ambos efectos: que la película biopolimérica se estabilice haciéndola más resistente al corte; y a los ataques químicos y físicos.<sup>[26]</sup> Por esta razón se genero el interés de conocer cuanto calcio y magnesio se integra a la red polimérica.

2.5 COMPOSICIÓN DEL MEDIO EMPLEADO.<sup>[12]</sup>

REACTIVOS	PESO (g/L)
Glucosa	25 g
Extracto de levadura	3 g
Fosfato ácido de dipotasio	2 g
Sulfato de magnesio heptahidratado	0.1 g
Solución trazas (micronutrientes)	3.5 ml
Agua desionizada	1000 ml

2.6 COMPOSICIÓN DE LOS MICRONUTRIENTES.<sup>[1,2]</sup>

REACTIVOS	PESO (g/L)
Sulfato de zinc heptahidratado	0.718 g
Cloruro de calcio dihidratado	0.368 g
Molibdato de sodio dihidratado	0.554 g
Sulfato ferroso heptahidratado	0.696 g
Sulfato de manganeso hidratado	0.422 g
Sulfato de calcio dihidratado	0.494 g

## 2.7 ESCALAMIENTO.

En términos comunes, podemos decir que el escalamiento es una técnica y metodología compleja empleada para transferir la producción a gran escala en la cual varios parámetros físicos, y biológicos se ven afectados a partir de un proceso de fermentación desarrollado en pequeño dentro del sistema como por ejemplo ; transferencia de masa y calor, características de mezclado, requerimientos de la potencia de agitación, respuesta del microorganismo etc., por lo que hace que el escalamiento sea altamente interdisciplinario requiriendo la combinación y el uso integrado de conceptos y metodologías de ingeniería química y fisiología celular los cuales son críticos al realizar un escalamiento , de esta manera el estudio de las fermentaciones dará más respuestas sobre la fisiología y bioquímica celular.<sup>[21,22,23,26]</sup>

El escalamiento que se llevo a cabo en este trabajo de investigación se ilustra en la figura 2.1, mientras que los parámetros que se controlaron al inicio de la fermentación se ilustra en la tabla 2.1

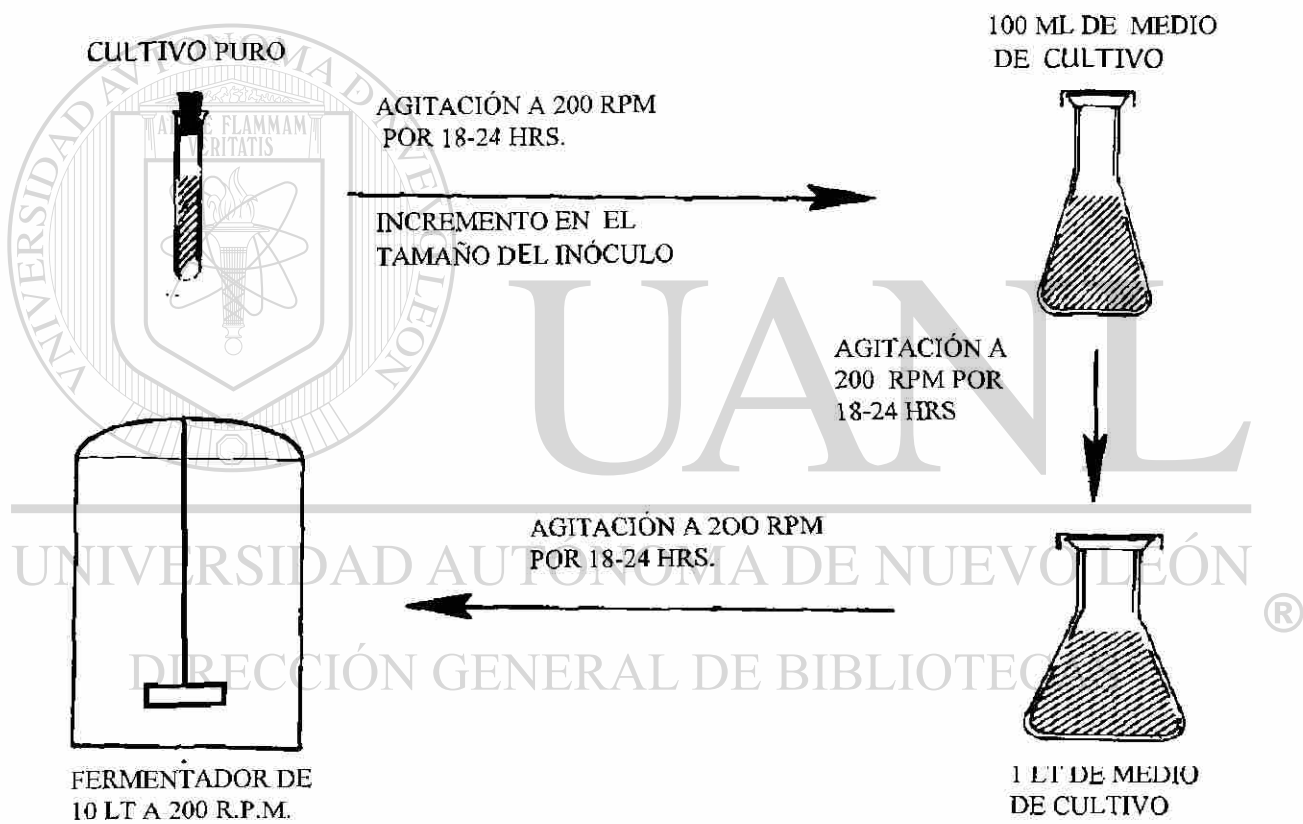


Fig 2.1 Diagrama de flujo de la fermentación batch para la producción de exopolisacárido.

## 2.8 PROCESO DE FERMENTACIÓN.

La fermentación para la producción de exopolisacáridos envuelve un estricto balance del proceso metabólico para la generación de ATP en la cual los compuestos orgánicos sirven como donadores de electrones (oxidándose) y como aceptores de electrones (reduciéndose); los compuestos que desarrollan estas dos funciones son por lo regular dos compuestos diferentes que provienen de un solo sustrato fermentable (como un azúcar). Por lo que hace a los carbohidratos los principales sustratos de las fermentaciones, así como también pueden ser ácidos orgánicos, aminoácidos, etc. <sup>[21,22]</sup> El equipo de fermentación tipo batch que se utilizó para llevar a cabo la producción de exopolisacárido se realizó en un recipiente de vidrio equipado con suministro de aire estéril, agitación mecánica, medición de pH y con una capacidad de volumen total de 14 lts. Estudios realizados por investigadores afirman que su característica más importante, es el cambio sustancial en el comportamiento reológico del caldo durante el cultivo, cambio muy importante ya que afecta parámetros críticos de la fermentación. <sup>[26,12]</sup> El proceso fermentativo llevado a cabo se realizó con un volumen de 10 lts de medio de cultivo, seguido de esterilización en autoclave a 121°C por 15 minutos ; seguido por una fase de enfriamiento lento (12-24 hrs). La inoculación fue realizada a partir de un cultivo puro y joven, el cual proviene de un proceso de escalamientos sucesivos con la misma composición del medio de cultivo como se señala en la figura 2.1

En donde al final el inóculo es añadido en el medio de cultivo final con todas las precauciones de asepsia para evitar posibles contaminaciones. Posteriormente, se procedió a establecer las condiciones de la fermentación, las cuales se presentan en la tabla 2.1 Durante el tiempo de fermentación se siguieron parámetros como crecimiento celular, concentración de azúcares reductores, pH y obtención de exopolisacáridos. [21, 22,23 ] La obtención de los resultados de los parámetros abajo mencionados se obtuvieron tomando muestras de 200 ml del fermentador en condiciones de asepsia total mediante la introducción de aire estéril al fermentador (el aire pasa a través de un filtro relleno con algodón y fibra de vidrio previamente esterilizado), realizando una presión mayor de entrada de aire al interior del fermentador para poder obtener la muestra, recogiénolas en matraces Erlenmeyer con capacidad de 250 ml en un tiempo menor de 1 minuto.

UNIVERSIDAD AUTÓNOMA DE NUEVO LEÓN

Tabla 2.1 parámetros al inicio de la fermentación.

PARAMETROS	CONDICIÓN
Volumen del medio	10 lts
Agitación	200 r.p.m.
Temperatura	Constante
Aireación	No

En la fase exponencial ( A ), también conocida como crecimiento continuo, las células están en una reproducción o fisión máxima constante en donde se sintetiza nuevo material celular a velocidad máxima, y en donde el número de células se incrementa en relación lineal con el tiempo. En esta fase, el conteo de células viables equivale al conteo total de células jóvenes debido a que relativamente se encuentran pocas células muertas. La fase de desaceleración ( B ) se caracteriza debido a que el número de células vivas generadas por escisión ya no es lineal debido a que el microorganismo empieza a encontrar dificultades como lo son escasez de nutrientes, acumulación de sustancias tóxicas para el microorganismo y cambios de pH, simultáneamente, la transferencia de energía empieza a decrecer por lo que el rango sostenido de multiplicación empieza a decaer. En la fase estacionaria ( C ), se observa una línea horizontal en la cual se puede decir que el número de células vivas y muertas están balanceadas, debido al agotamiento de nutrientes y mayor aparición de sustancias tóxicas para el microorganismo. La fase de muerte ( D ) se presenta como una línea exponencial a la inversa de lo que sucede durante la fase logarítmica de desarrollo en donde gran variedad de condiciones contribuyen a la muerte de las células, siendo una de las más importantes el agotamiento de las sustancias nutritivas esenciales, y la acumulación de productos inhibidores. En este periodo las bacterias mueren a diferentes tiempos de la misma manera que lo hacen al desarrollarse.<sup>[21, 23]</sup>



## 2.9 CURVA DE CRECIMIENTO.

Si se inocula un medio líquido con células microbianas jóvenes tomadas de una cepa, y se toman muestras a diferentes intervalos de tiempo midiendo su crecimiento celular mediante técnicas espectrofotométricas (turbidez) y se traza una gráfica a los diferentes tiempos, se obtiene una curva de crecimiento. Los métodos utilizados para medir un crecimiento celular en un medio líquido se pueden realizar por métodos directos e indirectos. El método directo es aquel que puede estimar el número de células en un volumen definido. Mientras que el método indirecto (turbidimétrico), utilizado en la realización de este trabajo, mide la turbidez generada en el medio de cultivo por la acumulación ó crecimiento celular. Este método se utilizó por ser rápido y simple, aunque esta sujeto a errores debido a la variación en tamaño y forma de la célula. En este trabajo se midió la turbidez que se genera en el medio de cultivo por el crecimiento celular y se midió como porcentaje de transmitancia en un espectrofotómetro UV/VIS Coleman Junior II modelo 6/20 a  $\lambda=540$  nm calibrando a 0 y 100 % de transmitancia utilizando medio de cultivo estéril como blanco. Una gráfica de una curva de crecimiento se presenta en la figura 2.2 La curva de crecimiento no presenta fase "lag" ó logarítmica de desarrollo debido a que procede de un escalamiento en el cual las células ya se adaptaron al medio de cultivo, y por lo tanto hay acumulación de enzimas y metabolitos secundarios que permiten una fase sostenida de crecimiento.

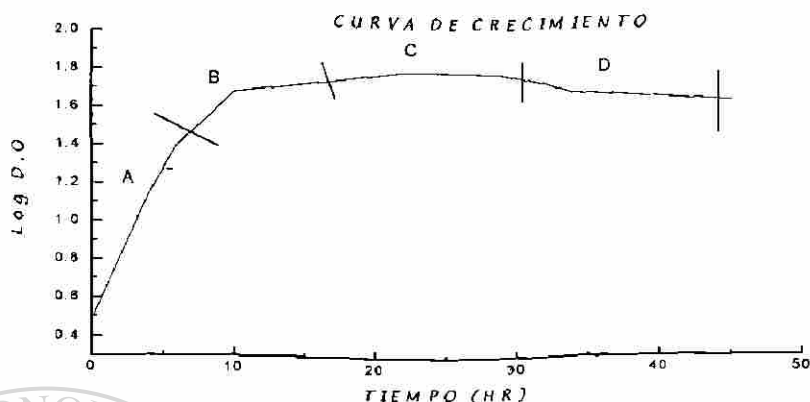


Fig. 2.2 Curva de crecimiento típica de un proceso fermentativo de los microorganismos.

### 2.10 DETERMINACIÓN DE AZÚCARES REDUCTORES (METODÓ ACIDÓ 3,5-DINITROSALICÍLICO ).

Este método analítico empleado es de suma utilidad en el proceso fermentativo ya que nos da la concentración de azúcar que se está consumiendo (azúcar reductor); esto es, conociendo la concentración inicial de azúcar que hay en el medio de cultivo y conforme sigue la fermentación se toman muestras a determinados tiempos y se realiza una gráfica de absorbancia contra tiempo, monitoreando el consumo de azúcar por el microorganismo. La metodología empleada es la siguiente :

- 1- Las muestras líquidas se centrifugan a 3000 rpm/15 min. para separar el paquete celular del sobrenadante.
- 2- Del sobrenadante obtenido se toma 1 ml para determinar azúcares reductores.

## 2.10.1 PREPARACIÓN DE LOS REACTIVOS.

SOLUCIÓN A-. Diluir por calentamiento 150g de tartrato de sodio y potasio en 250 ml de agua destilada.

SOLUCIÓN B-. Preparar una solución de NaOH 2N, agregar posteriormente 5 g de ácido 3,5-dinitrosalicílico y diluir mediante calor constante.

Mezclar las soluciones A y B y aforar a 500 ml con agua destilada.

## 2.10.2 PREPARACIÓN DE LA CURVA DE CALIBRACIÓN.

A-. De una solución patrón de dextrosa anhidra 0.01 M (180mg/100 ml de agua destilada), preparar los siguientes estándares :

Tabla.2.2 Estándares para azúcares reductores mediante el método ácido 3,5-DNS.

GLUCOSA (ml)	AGUA (ml)	CONC. ( $\mu\text{m}/\text{ml}$ )	CONC. ( $\mu\text{g}/\text{ml}$ )
1	9	1	180
2	8	2	360
3	7	3	540
4	6	4	720
5	5	5	900
6	4	6	1080
7	3	7	1260
8	2	8	1440
9	1	9	1620
0	1	BCO	0

- B-. Tomar 1 ml de cada concentración y pasar a un tubo de 13x100 y añadir 1 ml del reactivo 3,5-DNS calentar los tubos a ebullición en baño de temperatura por 5 minutos e inmediatamente pasar a baño de agua helada, añadir 2 ml de agua destilada y agitar.
- C-. Leer en espectrofotómetro UV-VIS Perkin-Elmer a  $\lambda = 540$  nm.
- D-. Graficar absorbancia contra concentración.

### 2.10.3 PREPARACIÓN DE LAS MUESTRAS.

- I-. De los sobrenadantes se tomó 1 ml de cada muestra y se aforo a 50 ml con agua desionizada.
- II-. Posteriormente se prosiguió la metodología igual que los estándares.
- III-. Interpolar y obtener las concentraciones ya sea en  $\mu\text{m/ml}$  o  $\mu\text{g/ml}$ .

### 2.11 DETERMINACIÓN DEL pH.

Las mediciones de pH se llevaron a cabo con un pH-metro Beckman con electrodo de calomel ajustando el pHmetro a pH 4 y 7 con soluciones standares. A las muestras tomadas a diferentes intervalos de tiempo se les determinó el pH inmediatamente desde el inicio de la fermentación hasta el final de la misma; así como también al medio de cultivo sin inocular. Cabe señalar que la producción de exopolisacárido en el medio de cultivo no estuvo bajo control de pH, pero, reportes de algunos investigadores indican que existe mayor producción cuando se controla el pH.<sup>[12]</sup> Los datos obtenidos a los diferentes intervalos de tiempo se graficaron a los diferentes tiempos de las de las muestras obtenidas.

## 2.12 OBTENCIÓN DEL EXOPOLISACÁRIDO.

Durante el seguimiento de la fermentación se tomaron 3 volúmenes grandes de muestras de medio de cultivo a diferentes tiempos como se indica en la tabla 2.3 Así como también volúmenes pequeños (100 ml), esto se realizo para observar si había un aumento en la acumulación de exopolisacárido.

Tabla 2.3 Tiempos de toma de muestras(vol.)

TIEMPO (HR)	VOLUMEN MEDIO (Lt)
3	2
15	2
24	1

Estas muestras se obtuvieron introduciendo aire (el cual pasa por un filtro relleno con fibra de vidrio y algodón estéril) al tanque fermentador y recogiendo las muestras en un matraz de 5 litros de capacidad. Posteriormente, se colocó en un recipiente etanol frío al 99.5 % en una relación de tres veces mayor que el volumen del medio de cultivo, seguido de la transferencia de el medio de cultivo en el etanol, observándose en poco tiempo precipitación (flotación) del biopolímero en forma de nata de color blanco. Inmediatamente se procedió a obtener el biopolímero ayudándose de pinzas, e inmediatamente se puso a secar a vacío por 24 hrs, a temperatura ambiente. El material obtenido se reflujo con etanol al 99.5 % por 72 hrs.

Este paso se diseño para purificar el biopolímero ya que en bibliografía el paso de purificación del biopolímero es mediante diálisis con un cierto tamaño de poro y de cierto peso molecular pero no contamos con esta técnica y procedimos a utilizar la arriba mencionada.

La fermentación se llevo a cabo utilizando un fermentador Microferm® Fermentor modelo New Brunswick en las instalaciones de la Facultad de Ciencias Químicas en el Departamento de Microbiología.

Después de cumplir el tiempo de reflujo se procedió a secar a vacío por 24 hrs como se muestra en el diagrama de flujo figura 2.2

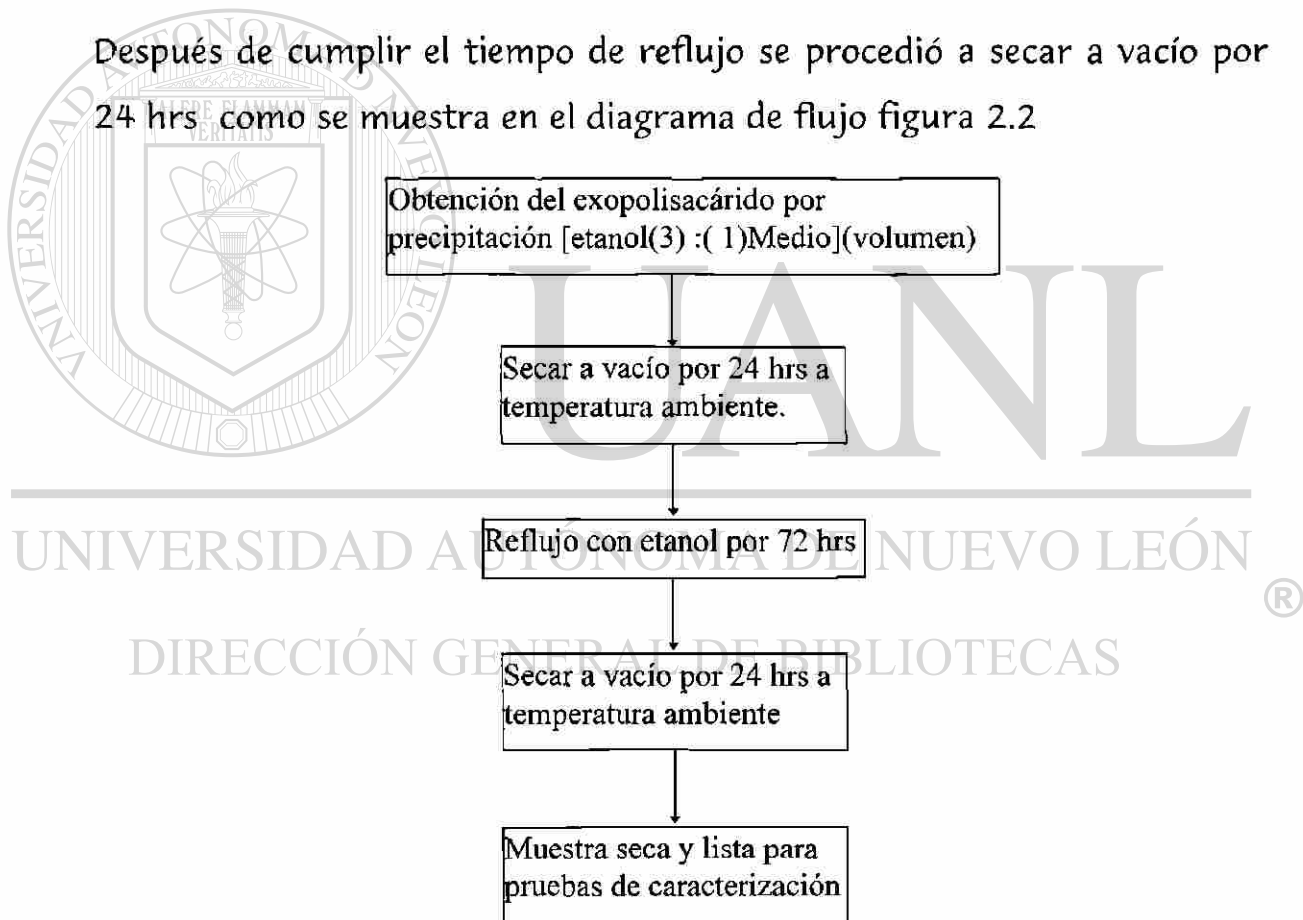


Fig. 2.3 Diagrama de flujo de la obtención del exopolisacárido.

## 2.13 TECNICAS INSTRUMENTALES DE CARACTERIZACIÓN.

La caracterización estructural de los polímeros usualmente requiere de una combinación de diferentes técnicas y métodos analíticos tales como TGA, DTA, RMN de  $H^1$  Y  $C^{13}$ , COSY, HPLC, GC, Difracción de Rayos-X en polvos, TMA, viscosidad intrínseca, propiedades reológicas, análisis elemental, microscopía electrónica, absorción atómica, etc.. Estos métodos pueden proporcionar información más detallada sobre la estructura y conformación de los polímeros de gran valor para la investigación.<sup>[20]</sup>

### 2.13.1 ANÁLISIS DEL EXOPOLISACÁRIDO POR FT-IR.

La radiación de infrarrojo se refiere a una región del espectro electromagnético entre el visible y la región de microondas. El espectro de IR permite a los químicos obtener información estructural de los grupos funcionales que lo componen.

La teoría de la radiación de infrarrojo nos dice que frecuencias entre  $10000-400\text{ cm}^{-1}$  es absorbida y convertida por una molécula orgánica en energía de vibración molecular en donde esta absorción es cuantizada ; lo cual genera un espectro de bandas, por lo que la frecuencia o longitud de onda de absorción dependerá de las masas relativas de los átomos, las constantes de fuerza de los enlaces y de la geometría del átomo .

La posición de las bandas en el espectro de IR es presentada como número de onda ( $\nu$ ) cuyas unidades es el recíproco del centímetro ( $\text{cm}^{-1}$ ), siendo esta unidad proporcional a la energía de vibración. La intensidad de las bandas puede ser expresada como transmitancia (T) o absorbancia (A) en donde la transmitancia es la fracción de la energía radiante incidente que transmite o emite la muestra, a menudo se expresa como %T y, la absorbancia es el logaritmo de base 10 de el recíproco de la transmitancia

$$A = \log_{10} (1/T).$$

Dependiendo de la región del espectro en que estemos trabajando, es factible caracterizar una sustancia tomando los siguientes parámetros:

- En la región del infrarrojo cercano ( $12500$  hasta los  $4000\text{cm}^{-1}$ ) se encuentran diferentes bandas de absorción resultantes de sobretonos armónicos de bandas fundamentales y combinadas que se relacionan con átomos de hidrogeno.

- En la región del infrarrojo medio de  $4000-1300\text{ cm}^{-1}$  existen dos tipos principales de bandas, la primera corresponde a interacciones diatómicas, esto se refiere a que las bandas de absorción se ven afectadas debido a otras influencias estructurales.

- La segunda región es conocida como la región de huellas dactilares se encuentra en la región de  $1300-650\text{ cm}^{-1}$ , en esta zona es factible identificar enlace tipo S=O, C=C, C=O, C=N, etc..

- La región del infrarrojo lejano ( $667-10\text{ cm}^{-1}$ ) es adecuada para el estudio de compuestos inorgánicos y organometálicos cuyos átomos sean pesados y con enlaces débiles.<sup>[24]</sup>



En el presente trabajo se utilizó la espectroscopia de infrarrojo utilizando un Paragon FT-IR 1000 PC de Perkin Elmer para seguir cualitativamente la formación del biopolímero y realizar comparaciones con estándares de una base de datos de polímeros. Este método analítico se utilizó para obtener los posibles grupos funcionales con los que cuenta la estructura y compararlos con otros exopolisacárido ya reportadas en literatura. Se realizaron pastillas de KBr con el material seco de exopolisacárido colocando ambas sustancias en un mortero de ágata y procediendo a moler y uniformizar, posteriormente se colocó el polvo en un dado para hacer las pastillas y se le aplicó presión (1700 psi) y vacío dejándolo por 7-10 min. La pastilla se colocó en un portamuestra y se procedió a correr la muestra.

### 2.13.2 ANÁLISIS DEL EXOPOLISACÁRIDO POR RMN.

La resonancia magnética nuclear es básicamente otra forma de espectrofotometría de absorción similar a IR o UV. Una muestra bajo condiciones apropiadas en un campo magnético puede absorber radiación electromagnética en la región de radiofrecuencia gobernada por las características de la muestra en donde las propiedades fundamentales de un átomo son : la masa, la carga, y el giro del electrón. Siendo esta última representada con el símbolo  $I$ , el cual puede tener valores de  $0, 1/2, 1, 3/2$ , en donde el valor real de  $I$  depende del núcleo en particular.

Una característica de los núcleos es que poseen carga positiva, esta carga da vueltas sobre el eje nuclear generando un campo magnético. Los núcleos que tienen un giro de  $I \neq 0$  poseerán un momento dipolar magnético ( $\mu$ ), cuando estos núcleos se colocan entre los polos de un magneto externo, la energía de interacción está dada por :

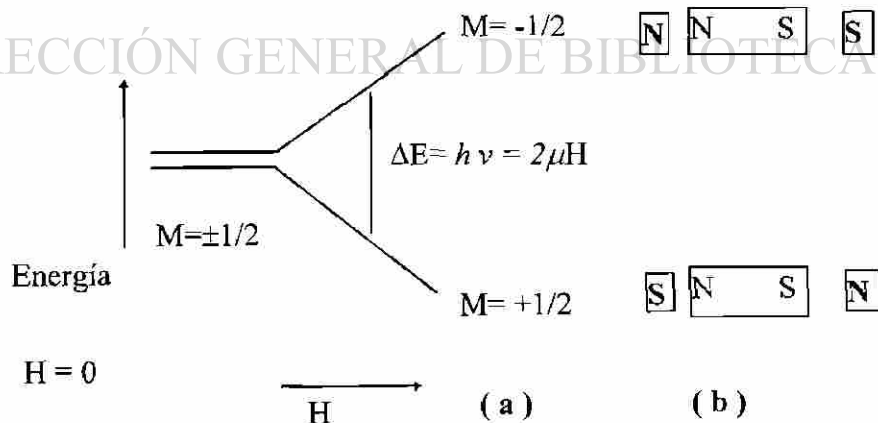
$$E = -\mu H \cos \theta$$

Donde H es el campo magnético externo y  $\theta$  el ángulo entre los vectores  $\mu$  y H. El signo menos indica que la interacción es de atracción. El ángulo  $\theta$  puede tener cualquier valor, por lo tanto E varía continuamente. La mecánica cuántica limita a  $\mu$  en el campo magnético a ciertas orientaciones permitidas que se caracterizan por el número cuántico del giro nuclear  $M = \pm \frac{1}{2}$  por lo tanto la energía está dada por :

$$E = -\mu I H M$$

En ausencia del campo magnético, esto es  $H = 0$ , estas dos orientaciones son equivalentes en energía.

En la siguiente representación se ve la separación de los niveles (a) y su análogo básico (b).



Ahora bien, si el núcleo se irradia con la frecuencia adecuada tal que puede inducirse la transición del nivel inferior al superior, se obtiene el fenómeno que se conoce con el nombre de resonancia magnética nuclear (RMN).<sup>[24]</sup> En la tabla 2.4 se da una lista de algunos núcleos en los que es aplicable la técnica de RMN.

Tabla 2.4 Núcleos adecuados para estudio de RMN.

ISÓTOPO	GIRO NUCLEAR (I)	ABUNDANCIA NATURAL (%)
$^1\text{H}$	$\frac{1}{2}$	99.985
$^{13}\text{C}$	$\frac{1}{2}$	$1.5 \times 10^{-2}$
$^{14}\text{N}$	$\frac{1}{2}$	99.63
$^{15}\text{N}$	$\frac{1}{2}$	0.37
$^{17}\text{O}$	$\frac{5}{2}$	$3.7 \times 10^{-2}$
$^{19}\text{F}$	$\frac{1}{2}$	100
$^{31}\text{P}$	$\frac{1}{2}$	100

En este trabajo el exopolisacárido se probó con distintos solventes polares y no polares tanto orgánicos como inorgánicos para ver la mejor solubilidad posible, así como también con diferentes ácidos y bases a diferentes concentraciones como se muestra en la tabla 2.5

Tabla 2.5 Solubilidad del exopolisacárido en diferentes solventes.

SOLVENTE (1 ml)	RELACIÓN (%)	PESO DEL EPS (mg)	SOLUBILIDAD
Agua	100	5	Parcialmente I
DMS	100	5	Parcialmente I
DMF	100	5	Negativo
DMS ( $\Delta^{\circ}$ )	100	5	Parcialmente I
DMS/AGUA ( $\Delta^{\circ}$ )	50:50	5	Parcialmente I
AGUA ( $\Delta^{\circ}$ )	100	5	Parcialmente I
AAG	100	5	Negativo
AFG	100	5	Negativo
AAG/AFG ( $\Delta^{\circ}$ )	50:50	5	Negativo
Hexano	100	5	Negativo
THF	100	5	Negativo
Metanol	100	5	Negativo
Cloroformo	100	5	Negativo
Acetonitrilo	100	5	Negativo
NH <sub>4</sub> OH ( $\Delta^{\circ}$ )	100	5	Parcialmente II
NaOH 3% ( $\Delta^{\circ}$ )	100	5	Parcialmente III

( $\Delta^{\circ}$ ) = Calentamiento en baño maría a 95 $^{\circ}$ C/20 min.

DMS = Dimetil sulfoxido

DMF = Dimetil formamida

AAG = Acido acético glacial

AFG = Acido fórmico glacial

THF = Tetrahidrofurano

Parcialmente I = Hinchado

Parcialmente II = Hinchado y algo disuelto

Parcialmente III = Hinchado y más disuelto

Después de encontrar el solvente en el cual se obtenía una mejor disolución parcial (NaOH al 3% con agua deuterada), se procedió a enviar una muestra en una concentración de 6 ppm (6 mg/ml) al Departamento de Farmacología de la Facultad de Medicina para resonancia de  $^1\text{H}$  y de  $^{13}\text{C}$  en un espectrófotometro de RMN de 400 MHz marca Bruker amx serie avance dpx 400 con sonda multinuclear.

### 2.13.3 ANÁLISIS TÉRMICO DEL EXOPOLISACÁRIDO.

El análisis térmico permite medir algunas propiedades fisicoquímicas de ciertos materiales cuando estos se programan a una medición continua en función de la temperatura en una atmósfera determinada, esto es cuando la muestra esta sujeta a cambios de temperatura controlado, el programa puede envolver calentamientos o enfriamientos en un rango fijo de cambios de temperaturas o a temperaturas constantes.

El conocimiento de las propiedades térmicas de los polímeros es siempre importante y crítico de conocer para determinar las transiciones térmicas que pueden ocurrir cuando estos son expuestos a cambios de temperatura, esta herramienta proveen información tal como temperaturas de descomposición, temperaturas de fundición, temperaturas de transición vítrea, etc. [25, 15] estos efectos variarán de acuerdo a la naturaleza del polímero como por ejemplo la celulosa la cual su temperatura de descomposición empieza abajo de los 100°C, mientras que las poliamidas son estables arriba de los 400°C. [25]

#### DIRECCIÓN GENERAL DE BIBLIOTECAS

Entre las principales técnicas termoanálíticas podemos mencionar :

- a-. Análisis termogravimétrico (TGA)
- b-. Análisis térmico diferencial (DTA)

## 2.13.3.1 ANÁLISIS TERMOGRAVIMÉTRICO (TGA).

El análisis termogravimétrico es una técnica que mide los cambios de peso de una sustancia en función de la temperatura o tiempo en un determinado rango, en donde su equilibrio termodinámico se ve afectado resultando una serie de cambios (físicos y/o químicos) en la que se ve involucrada la liberación o absorción de energía en forma de calor, estos datos son representados de manera gráfica como el de la figura 2.4, en donde el peso se gráfica en el eje de las  $Y$  y la temperatura en el eje de las  $X$ . La metodología que se sigue es la siguiente: muestra en pequeñas cantidades (mg) es calentada en un rango constante (1-20°C/min) teniendo un peso constante hasta empezar a descomponerse a una temperatura  $T_1$  llegando hasta una temperatura constante de descomposición  $T_2$ , una segunda constante es observada la cual corresponde a el peso del residuo  $W_2$ , la diferencia entre  $W_1$  y  $W_2$  ( $\Delta W$ ) son datos fundamentales de la muestra y pueden ser utilizados para cálculos cuantitativos de cualquier proceso fisicoquímico involucrado, en el que haya una disminución o cambio de masa. Las variables que se pueden presentar durante la corrida de una muestra son: rangos de calentamiento, naturaleza del sólido, atmósfera del horno. <sup>[25, 15]</sup>

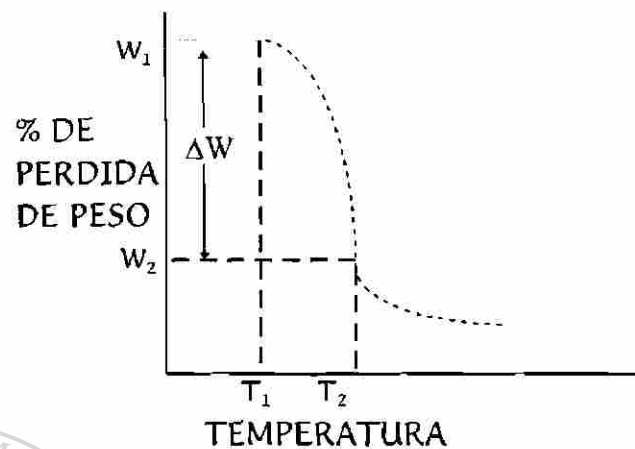


Fig. 2.4 Termograma típico de una reacción de descomposición.

### 2.13.3.2 ANÁLISIS TÉRMICO DIFERENCIAL (DTA).

El análisis térmico diferencial es una técnica en la cual los cambios de calor dentro de un material son monitoreados y comparados con la de un material inerte de referencia en el rango de trabajo, de tal manera que podremos tener una relación de las diferencias de temperatura (la de la muestra con respecto a la referencia) en función de la rampa de temperatura que a la que se realice el análisis esto nos dan resultados en forma de gráficas que nos permiten detectar, por medio de picos, las temperaturas a las cuales se dan transformaciones fisicoquímicas de la muestra, dependiendo de la forma y orientación del pico se puede determinar si el evento observado es endotérmico (absorción de energía) o exotérmico (liberación de energía).

Las aplicaciones del DTA nos permite evaluar mediciones físicas (cambios de fase cristalina, fusiones, diagrama de fases, cambios de estado líquido y líquidos cristalinos, capacidades caloríficas y transiciones vítreas), y químicas (descomposiciones, deshidrataciones y formación vítrea de los materiales).<sup>[25]</sup>

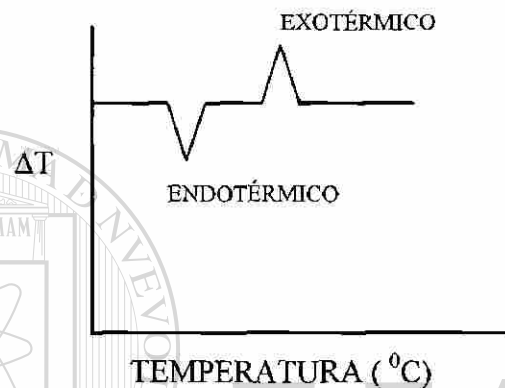


Fig. 2.5 Curva típica de DTA

A las 3 muestras de exopolisacárido obtenidas por precipitación con etanol y purificadas por reflujo con etanol al 99.5 % durante la fermentación, se les realizaron pruebas de análisis térmico de DTA y TGA corriéndose en una rampa de calentamiento de 5°C/min. que va desde temperatura ambiente hasta 400°C en una atmósfera de aire con un flujo de 100 ml/min utilizando un termoanalizador DTA/TGA TA Instruments 2100, las muestras se colocaron en un crisol de platino con un promedio de peso por cada muestra de 10 mg corriéndose paralelamente un standard de referencia de alumina ( $Al_2O_3$ ) en atmósfera de aire.



#### 2.13.4 ESPECTROSCOPIA DE ABSORCIÓN ATÓMICA.

La absorción atómica es una técnica que envuelve la absorción de luz por átomos libres, siendo este principio la base para la determinación de metales.

Los átomos consisten en un núcleo central, compuesto de protones y neutrones el cual está rodeado de orbitales en los cuales se localizan los electrones, los átomos son capaces de absorber luz o calor excitando a los electrones de valencia (electrones ubicados en las últimos orbitales del átomo) transfiriéndolos a niveles de mayor energía en donde la longitud de onda absorbida es proporcional al espacio entre los niveles energéticos. Como cada elemento tiene un cierto arreglo de longitudes de onda de absorción tendrá un patrón definido para cada elemento.

La determinación de calcio y magnesio en el EPS es la de ver el porcentaje de estos elementos que se incorporan a la red del biopolímero ya que reportes de otros investigadores<sup>[2]</sup> dan por hecho la incorporación de ambos elementos ayudando a la red polimérica a ser más resistente al corte debido a puentes y entrecruzamientos que se generan internamente.

## 2.13.5 CROMATOGRAFÍA.

Los métodos cromatográficos son procesos de migración diferencial en el cual se caracteriza por el paso uniforme de una mezcla fluida (gas o líquida) a través de otra sustancia relativamente inmobilizada (líquida o sólida). La cual por diferencias de polaridad migran los componentes de una mezcla.<sup>[29]</sup> La característica que distingue un proceso cromatográfico es la interacción entre la fase móvil y la fase estacionaria, esta interacción se basa en una combinación de factores como solubilidad, intercambio iónico, adsorción y filtración. El método cromatográfico empleado es la cromatografía en papel, el cual es un procedimiento simple y se basa en la partición de los componentes de una mezcla entre dos fases líquidas debido a diferencias de solubilidades de los componentes de cada fase. La función principal del papel es de servir de soporte inmóvil para el agua absorbida en este soporte, que a su vez sirve como fase estacionaria. La fase móvil es una mezcla líquida homogénea, que consiste en un solvente orgánico saturado de agua. El procedimiento utilizado es el siguiente, un volumen de la muestra se aplica en una región determinada cerca del extremo del papel cromatográfico, el punto de aplicación, llamado origen, es secado. Mientras tanto el solvente (fase móvil), se coloca en una cámara cerrada dejándolo un tiempo para que el interior de la cámara se sature con los vapores del solvente.

Después del equilibrio se pone en contacto el extremo del papel con el solvente y este comenzará a subir o bajar dependiendo de la técnica (ascendente o descendente) por capilaridad. Cuando el solvente de desarrollo alcanza el origen, la muestra se disolverá diferencialmente en las dos fases habiendo una distribución de la muestra entre la fase estacionaria acuosa (polar), aportada por el papel y la fase móvil, principalmente orgánica (nopolar) en donde la distribución esta gobernada por las diferencias de solubilidades de cada soluto en las fases. Después de que los solutos de la muestra se encuentran distribuidos a diferentes distancias del origen, esta se relaciona con el recorrido total del solvente de desarrollo de la siguiente manera :

$$R_f = \frac{\text{Distancia recorrida por el compuesto}}{\text{Distancia recorrida por el solvente}}$$

El  $R_f$  es característico de cada compuesto orgánico ó inorgánico dependiendo del solvente y la fase estacionaria. Después de que el solvente ha migrado la fase estacionaria se retira y se seca. La fase final es detectar la ubicación de cada compuesto ya sea por luz ultravioleta o tratando el papel con un reactivo químico que interactúa con los compuestos ya resueltos para producir un producto coloreado.<sup>[28,29,30]</sup> La cromatografía en papel para carbohidratos se puede considerar como un proceso de partición, aunque la adsorción puede estar presente en algunos casos.

La movilidad de los azúcares depende de la forma del anillo y de la configuración de los grupos hidroxilos<sup>[29]</sup>, también cabe señalar que el tipo de enlace tiene gran influencia en la migración ya que se conoce que las uniones disacáridos (1→4) migran más rápido que las uniones (1→6)<sup>[29]</sup>.

La identificación de los polisacáridos por cromatografía es complicada por lo que se tienen que hidrolizar para separar los monómeros ó los oligosacáridos presentes ; la hidrólisis llevada a cabo se realizó con ácido clorhídrico 3 N por 6 hr/95° C en baño María seguido de una neutralización con carbonato ácido de sodio.

El sistema desarrollador utilizado es acetato de etilo- agua- ácido acético glacial- Metanol (65 :10 :7.5 :20) . El sistema revelador es ftalato ácido de potasio- anilina- nbutanol (1.5 g : 1 ml : 100 ml).

A continuación se presenta el diagrama de flujo de la técnica de cromatografía de papel ( figura. 2.6 ).

---

UNIVERSIDAD AUTÓNOMA DE NUEVO LEÓN

DIRECCIÓN GENERAL DE BIBLIOTECAS

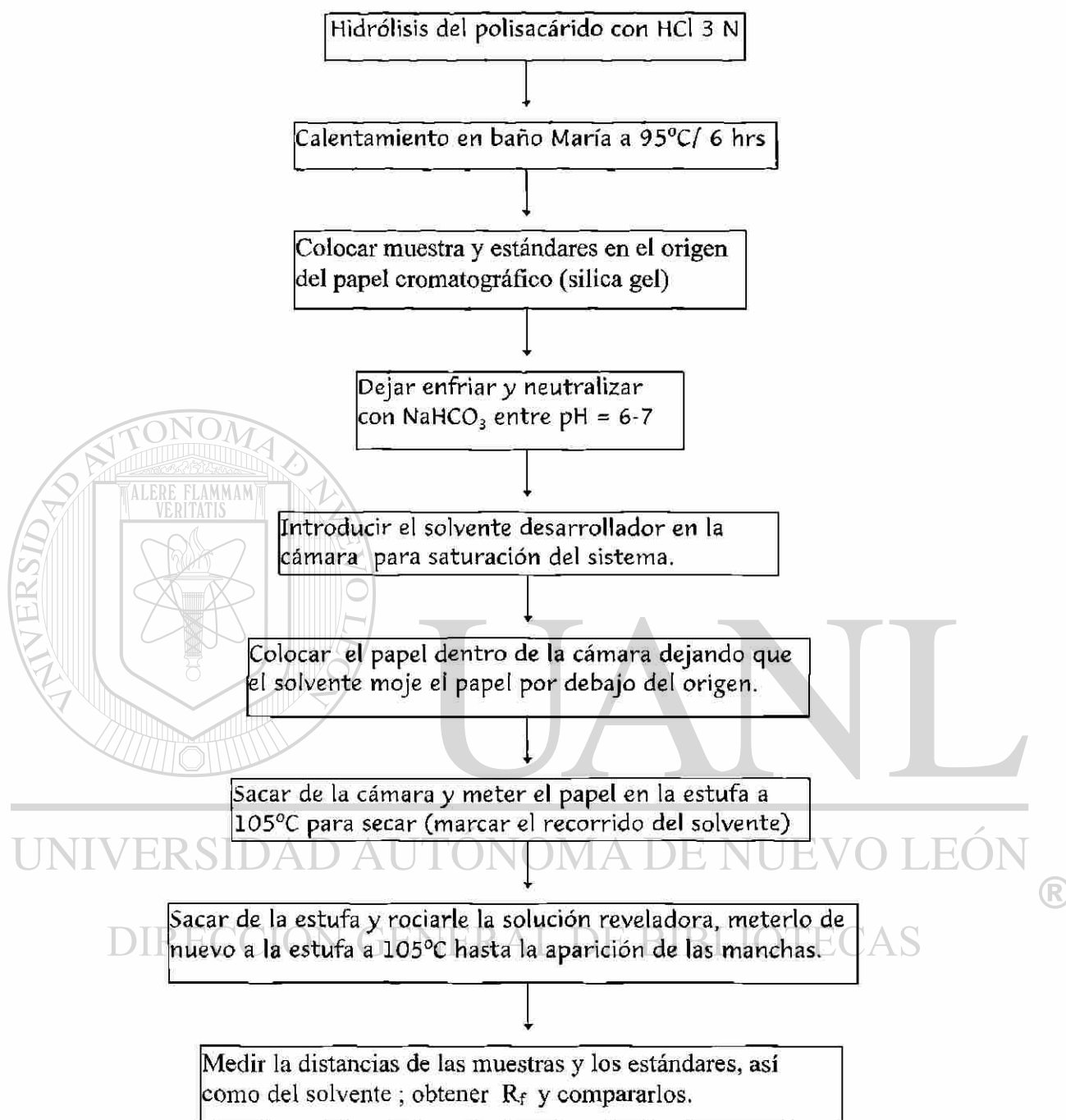


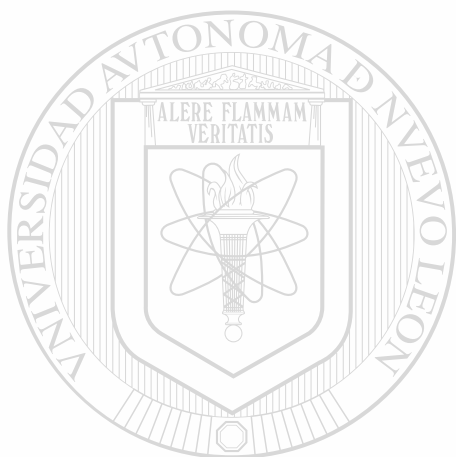
Fig. 2.6 Diagrama de flujo para la identificación de azúcares por cromatografía.

## 2.13.6 PROPIEDADES REOLÓGICAS DEL EXOPOLISACÁRIDO.

La determinación de las propiedades reológicas de los polímeros es un aspecto importante en su caracterización química, ya que nos da una amplia información de su peso molecular y el tipo de flujo que presenta el cual nos ayuda a entender mejor sus propiedades.

Una forma de definir la viscosidad sería como la medida de la fricción interna de un fluido causado por la atracción molecular, la cual genera esta resistencia a fluir <sup>[31]</sup>. La técnica empleada para determinar la viscosidad en soluciones es un método simple y rápido capaz de darnos una amplia información acerca de la conducta que presentan los polímeros bajo presencia de fuerzas externas, en donde su viscosidad variará con el rango de deformación presentando diferentes tipos de flujo, como por ejemplo: Newtoniano (donde la viscosidad es independiente del rango de corte) y no-newtonianos el cual posee una amplia gama de comportamientos en el que mencionaremos a los pseudoplasticos (donde la viscosidad decrece con el incremento del rango de corte), dilatante (donde la viscosidad aumenta con el rango de corte).<sup>[30, 31]</sup> Entre los ejemplos de fluidos newtonianos mencionaremos al agua y los aceites de motores y, de no-newtonianos podemos mencionar de acuerdo al grupo que corresponde como; los pseudoplasticos en la cual encontramos a las pinturas, las emulsiones y dispersiones, mientras que el de comportamiento dilatante es presentado por fluidos con sólidos defloculados como pastas cerámicas, gomas en agua, etc.

En este trabajo se utilizó un viscosímetro Brookfield modelo HAT; la solución se realizó colocando un gramo de exopolisacárido en 300 ml de NaOH 3 % y se calentó a baño María por 3 hr/90 °C, se dejó reposar por 12 hrs y se filtró la solución ajustándolo a 300 ml con NaOH al 3 %.

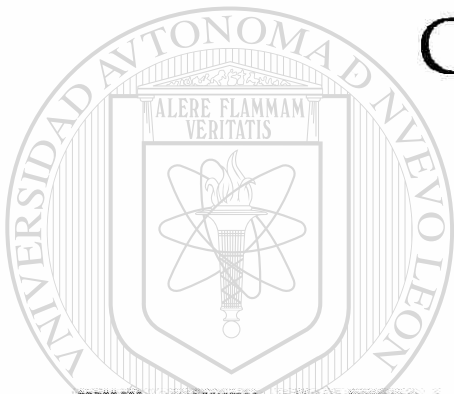
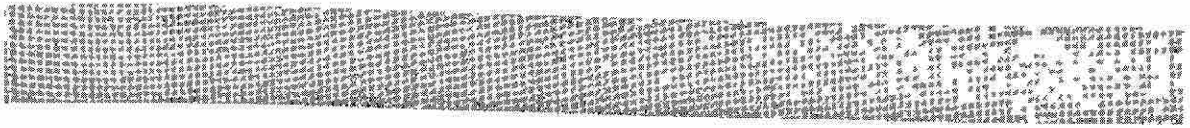


# UANL

UNIVERSIDAD AUTÓNOMA DE NUEVO LEÓN



DIRECCIÓN GENERAL DE BIBLIOTECAS



## CAPITULO 3

LIANI

RESULTADOS

UNIVERSIDAD AUTÓNOMA DE NUEVO LEÓN

DIRECCIÓN GENERAL DE BIBLIOTECAS



1020126079



## 3 RESULTADOS.

## 3.1 IDENTIFICACIÓN DEL MICROORGANISMO.

La muestra proporcionada fue sembrada en agar nutritivo para posteriormente realizar pruebas bioquímicas ; inmediatamente después se realizó una fermentación al cual se le tomo muestras de la misma y se sembró en EMB (agar eosina azul de metileno) realizándole pruebas bioquímicas , dándonos los siguientes resultados (tabla 3.1).

Tabla 3.1 pruebas bioquímicas

PRUEBAS	RESULTADOS
Indol	-
Rojo de metilo	-
Voges-Proskauer	+
Citrato de simmons	+
Sucrosa	+
Glucosa	+
Inositol	+
H <sub>2</sub> S (gas)	-
Oxidasa	-
Arabinosa	+
Arginina	+

Con los resultados de las pruebas bioquímicas y observaciones microscópicas se realizo la identificación del microorganismo productor de exopolisacárido (EPS) siendo un bacilo Gram negativo del género *Klebsiella pneumoniae* el cual por antecedentes se sabe que es capaz de secretar exopolisacárido al medio y con estructura variada dependiendo de la fuente de carbono y los flujos de energía <sup>[6,2]</sup>

10-126079

## 3.2 CURVA DE CALIBRACIÓN.

Los resultados obtenidos de la curva de calibración para azúcares reductores se presentan en la figura 3.1, así como también se presenta la tabla 3.2 en la cual se localizan las concentraciones de los estándares empleados para la curva. La curva de calibración presenta una regresión lineal de 0.999, lo cual nos determina que el método es confiable para poder utilizarla y determinar la concentración de azúcares reductores presentes en el medio de cultivo en el cual durante el transcurso de la transformación nos da el azúcar residual presente y de esta manera se obtiene información concerniente a la formación del exopolisacárido a partir de los azúcares presentes.

Tabla 3.2 Resultados de los estándares de azúcares reductores.

CONCENTRACIÓN ( $\mu\text{g/ml}$ )	ABSORBANCIA
0	0
180	0.3233
360	0.58
540	0.8811
720	1.2149
900	1.5457
1080	1.8802
1260	2.1907
1440	2.4601

CURVA DE CALIBRACIÓN DE AZÚCARES REDUCTORES MEDIANTE EL MÉTODO DEL ÁCIDO 3,5-DINITROSALICÍLICO

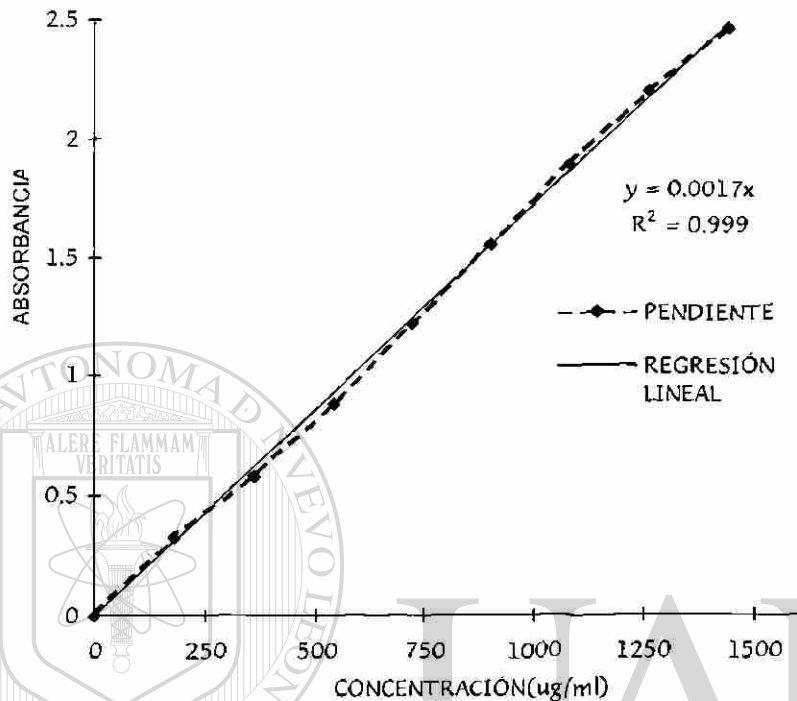


Fig. 3.1 Curva de calibración de azúcares reductores

### 3.3 PARÁMETROS DE LA FERMENTACIÓN.

Los resultados de los parámetros seguidos durante la fermentación fueron reproducibles y se representan en las figuras 3.2 y 3.3. En la figura 3.2 se reporta el crecimiento del microorganismo expresado como logaritmo de la densidad óptica contra el tiempo, así como también la concentración de azúcares reductores ( $\mu\text{g/ml}$ ) contra el tiempo. Se puede apreciar que a medida que los microorganismos se van desarrollando en función del tiempo, la tendencia de la concentración de azúcares reductores es a la inversa (disminuyendo), debido a que los microorganismos están utilizando la fuente de azúcares para sintetizar exopolisacárido el cual es excretado, y esta excreción se aprecia visualmente en el medio ya que va cambiando las características intrínsecas del caldo de la siguiente manera :

la solubilización del exopolisacárido define el comportamiento reológico del medio de cultivo líquido, ya que durante la fase inicial de la fermentación (0-1 hr) el fluido es prácticamente Newtoniano esto es, la viscosidad es independiente de la rapidez de deformación pero, conforme avanza la fermentación (2-26 hrs) se incrementa la viscosidad del medio gradualmente y se convierte en un fluido dilatante ó espesante. En esta etapa es en donde se alcanza la mayor producción del exopolisacárido y la mayor estabilidad de la red polimérica ya que en la fase final de la fermentación (26→46 hrs) la viscosidad decrece (tipo pseudoplásticos). Además, con los datos obtenidos de la curva de crecimiento (figura 3.2 y .3.3), podemos precisar que la fase exponencial máxima de los microorganismos se encuentra entre las 12 y 15 hrs, posteriores al inicio de la fermentación y es en esta fase en donde se aprecia la mayor producción de exopolisacárido y por consiguiente un aumento de la viscosidad (ver tabla 3.4 y figura 3.4) ; la fase estacionaria empieza a las 18 hrs, entre las 18 y 26 hrs se pudo apreciar que la viscosidad del medio se mantiene y se puede establecer que en este tiempo es en donde se alcanza la mayor estabilidad de la red polimérica del exopolisacárido esto corroborándose con los resultados de termogravimetría obtenidas a las 24 horas en la cual se aprecia que la temperatura máxima de descomposición se alcanza a una temperatura de 306.8°C (ver figura 3.10) también, a que al obtener el exopolisacárido mediante pinzas se apreciaba una consistencia mayor que las muestras tomadas a tiempos posteriores y anteriores a las 24 horas. A partir de las 26 horas y manteniéndose hasta las 46 horas la viscosidad del medio empieza a decaer en donde empieza un declive o muerte de los microorganismos y en donde también se aprecia que la consistencia del exopolisacárido disminuye considerablemente. Con los datos anteriores podemos decir que la característica principal de la fermentación consiste en que el producto principal que es el exopolisacárido (EPS), es el responsable directo de los cambios ocurridos en las propiedades reológicas del medio y que es necesario analizarle para poder encontrar con más detalle los cambios de los parámetros ocurridos en la fermentación durante la solubilización del exopolisacárido en el medio.

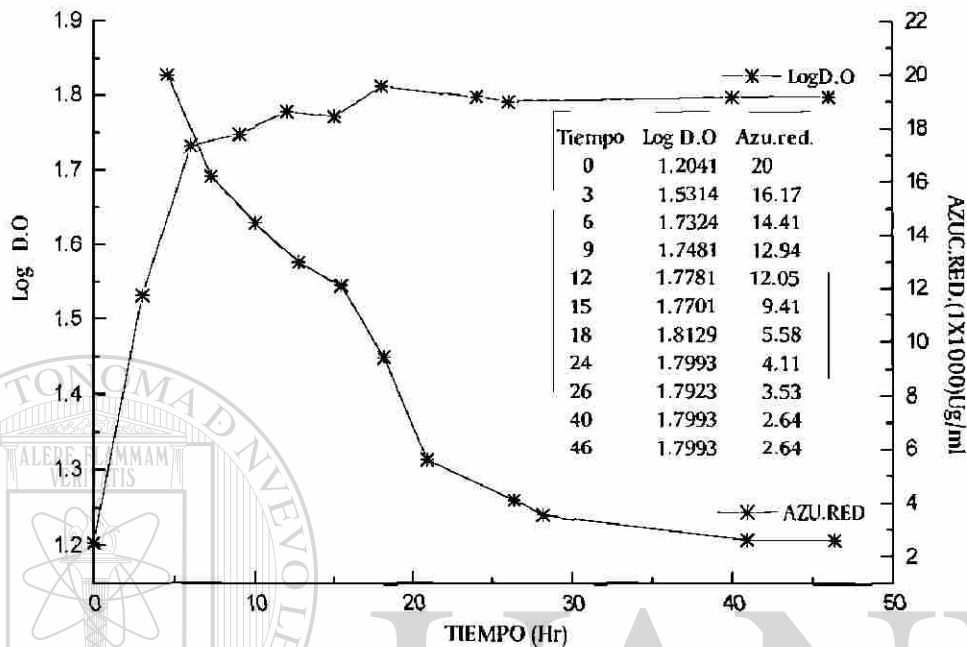


Fig. 3.2 Curva de crecimiento y determinación de azúcares reductores durante la fermentación y formación del exopolisacárido por *Klebsiella pneumoniae*.

En la figura 3.3 se reporta el crecimiento de los microorganismos como logaritmo de la densidad óptica contra tiempo y el potencial de hidrógeno contra el tiempo, se observa que a medida que el crecimiento de los microorganismos avanza, el pH va disminuyendo debido a que los microorganismos al utilizar los carbohidratos del medio de cultivo aparte de formar exopolisacárido, también llegan a formar ácidos orgánicos por lo consiguiente, el pH del medio disminuye conforme avanza la fermentación (figura 3.4) aunque esta disminución de pH, no llega a afectar la viscosidad del medio durante el tiempo que transcurre de las 2-26 hrs más, no podemos precisar su efecto posteriormente de las 26-46 hrs. Estudios realizados sugieren que manteniendo un pH óptimo del medio se puede obtener una mayor producción de exopolisacárido y una mayor estabilidad de la red esto debido a que se sabe que manteniendo un pH predominantemente entre 5.2-5.8 y, este confiere identidad iónica específica a las moléculas y que es importante para su estructura final y sus funciones.<sup>[17,12]</sup>

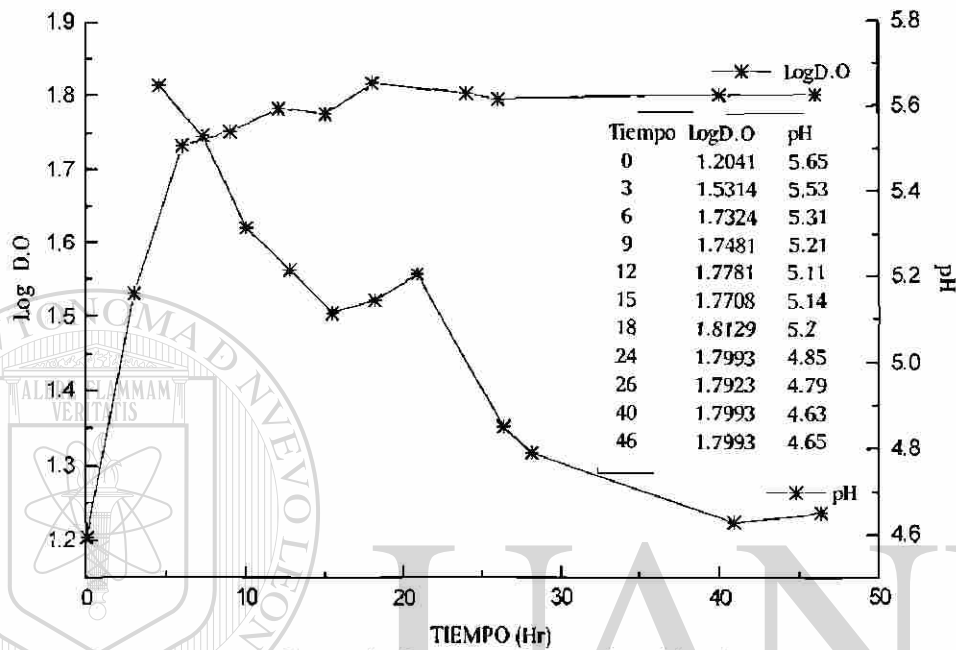


Fig. 3.3 Curva de crecimiento y determinación de su pH durante la fermentación por *Klebsiella pneumoniae*.

Cabe señalar que el comportamiento del medio de fermentación es de un fluido No-newtoniano durante el mezclado y, en donde la agitación solo es eficiente en las fases iniciales de la fermentación, ya que una vez avanzada ésta solo lo es en la vecindad de los impulsores. Esto se puede establecer ya que la fuerza de propulsión de los impulsores bajo de 200 r.p.m. a 160 r.p.m., debido a la solubilización del exopolisacárido en el medio, en la tabla 3.3 se presentan los cambios que sucedieron durante el transcurso de la fermentación.

Tabla 3.3 Cambios físicos que ocurrieron durante la fermentación

FERMENTACIÓN			
PARÁMETROS	INICIO	INTERMEDIO	FINAL
pH	5.6	5.14	4.65
Agitación (r.p.m.)	200	180	160
Tipo de viscosidad	Newtoniano	Dilatante	Pseudoplastico

## 3.4 RESULTADOS DE OBTENCIÓN DE EXOPOLISACÁRIDO.

De las muestras de 100 ml obtenidas a diferentes tiempos se obtuvieron los siguientes resultados (tabla 3.4)

Tabla 3.4 Resultados de los pesos obtenidos del exopolisacárido a diferentes tiempos de obtención.

TIEMPO (Hrs)	PESO DE EPS(seco)g/100ml
3	0.0595
6	0.0652
12	0.0976
15	0.0987
18	0.0749

Estos resultados se graficaron para poder obtener una mayor apreciación de los cambios ocurridos durante la producción del exopolisacárido (figura 3.4 )

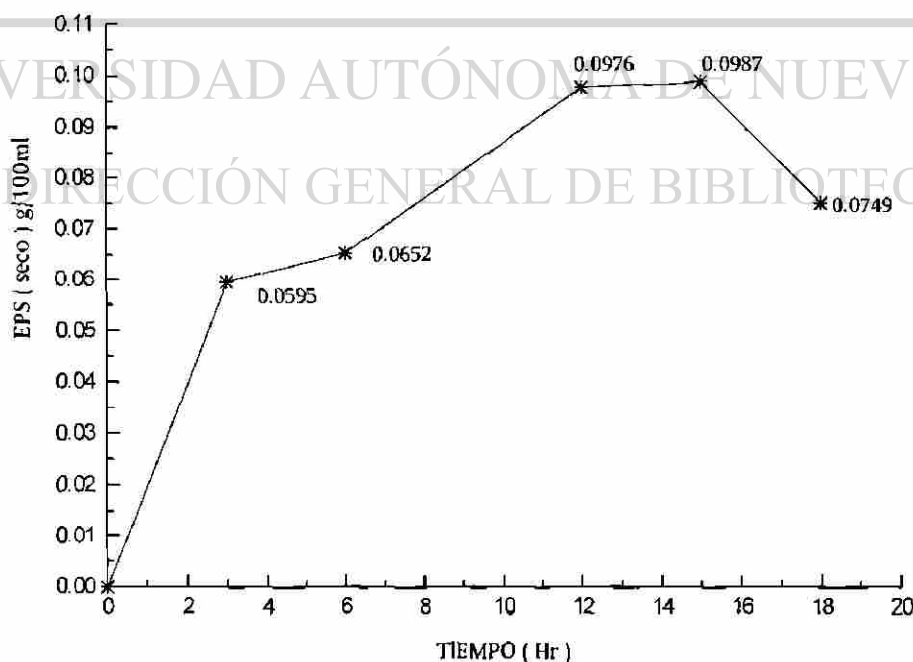


Fig. 3.4 Evolución de la producción del exopolisacárido.

Con estos datos se observa que la formación de EPS va aumentando en forma gradual hasta llegar a una fase constante (12-15 hrs), esta evolución de constante producción o aumento en la formación del biopolímero nos demuestra que el microorganismo es capaz de sostener un ritmo de formación de biopolímero sostenible de acuerdo al flujo de la fuente de carbono y energía disponible; pero posteriormente este ritmo de producción se desacelera y empieza a decrecer, que es algo característico de los polímeros de origen microbiano, ya que se pueden sintetizar y degradar con gran rapidez debido a que se encuentran en un estado dinámico en el cuál actúan simultáneamente, mas la degradación se puede llegar a controlar esto es, regulando las enzimas que realizan esta acción de manera que solo actúen en ciertas condiciones. Además la media del peso promedio de exopolisacárido obtenido por litro de medio de cultivo es de 0.95 g/L comparando este resultado con otros exopolisacáridos obtenidos de otras investigaciones<sup>[6,7,9]</sup>. Podemos determinar que el rendimiento es bajo, pero cabe aclarar que en este trabajo no se mantuvo un pH adecuado ya que no era el objetivo, y en las referencias de los microorganismos productores (tabla 3.5) si se establecen parámetros de pH adecuados para la producción de exopolisacárido. En general, podemos establecer que para la producción de exopolisacárido se deben establecer más parámetros de control para poder obtener un máximo rendimiento del mismo.

Tabla 3.5 Comparación de resultados de peso seco de exopolisacáridos obtenidos con otros microorganismos y *Klebsiella pneumoniae*.

MICROORGANISMO	PESO SECO g/L	REFERENCIA
<i>Cyanospira capsulata</i>	4	9 y 7
<i>Methylophilus sp.</i>	5.4	6
<i>Agrobacterium radiobacter</i>	9	6
<i>Klebsiella pneumoniae</i>	0.95	

En la figura 3.5 se gráfica el pH y la concentración de exopolisacárido (seco) en función del tiempo de la obtención de muestras durante el transcurso de la fermentación.



Aquí se puede observar más detalladamente la forma en que el exopolisacárido se acumulaba gradualmente así como los cambios de pH que se generaban en el transcurso del tiempo llegando a ser una relación dinámica en la cual el exopolisacárido se sintetiza y se degrada simultáneamente.

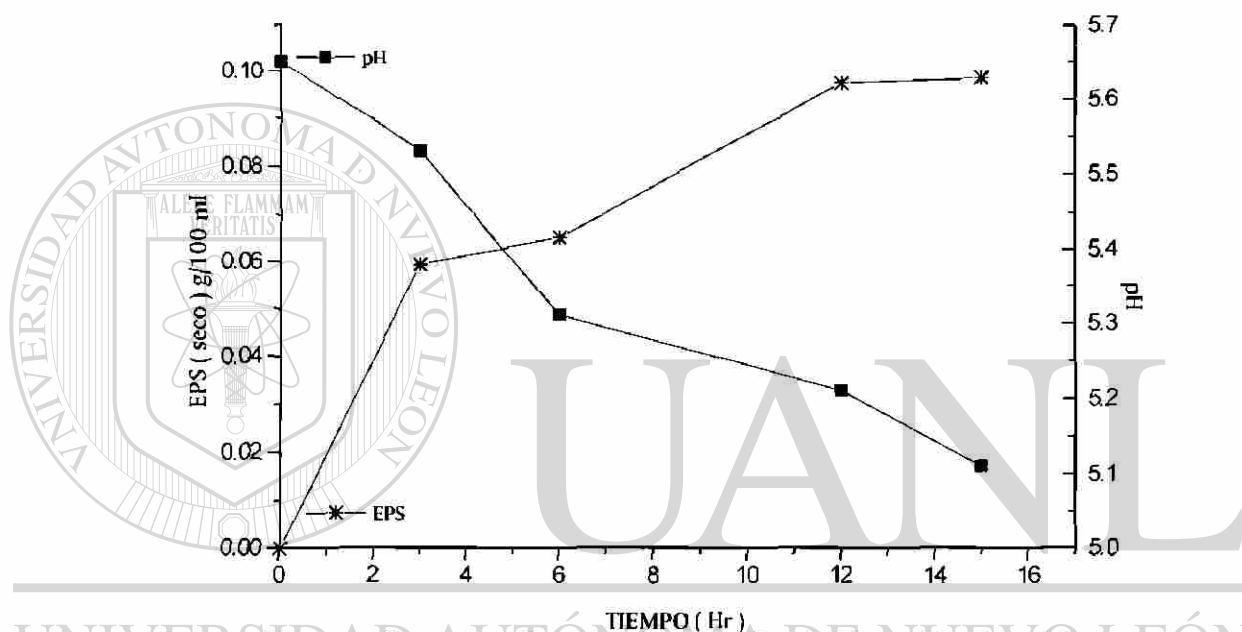


Fig. 3.5 pH y concentración de exopolisacárido en función del tiempo.

### DIRECCIÓN GENERAL DE BIBLIOTECAS 3.5 RESULTADOS DE FT-IR

Se caracterizó por IR el exopolisacárido (EPS) obtenido para intentar comprender la naturaleza de los productos a través de los grupos funcionales presentes en su estructura. Los resultados indican los siguientes datos: las bandas de mayor intensidad y anchura se presentan a  $3307\text{ cm}^{-1}$ , el cual corresponde a un estiramiento de un grupo O-H antisimétrico característico en la mayor parte de las gomas procedentes de microorganismos; a  $1709\text{ cm}^{-1}$  se presenta una banda de estiramiento C=O de ésteres; a  $1648\text{ cm}^{-1}$  se presenta una banda de estiramiento por el enlace C=O de amidas;

a  $1082\text{ cm}^{-1}$  se presenta un estiramiento asimétrico del enlace C-O-C. Bandas adicionales son indicadas en la figura 3.7

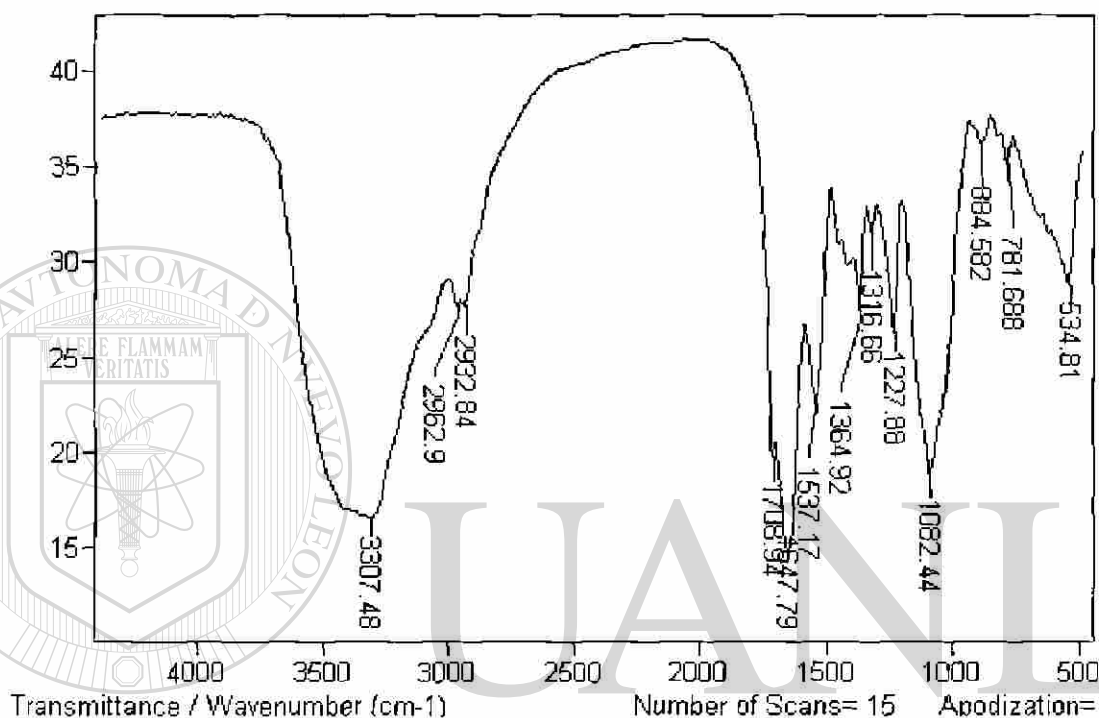


Fig. 3.6 Espectro de infrarrojo del EPS.  $3307\text{ cm}^{-1}$  banda de estiramiento antisimétrico del OH ;  $2962\text{ cm}^{-1}$  banda de estiramiento antisimétrico del  $\text{CH}_3$  ;  $2932\text{ cm}^{-1}$  banda de estiramiento antisimétrico del  $\text{CH}_2$  ;  $1708\text{ cm}^{-1}$  banda de estiramiento C=O de ésteres ;  $1648\text{ cm}^{-1}$  banda de estiramiento de C=O de amidas ;  $1365\text{ cm}^{-1}$  banda de grupo  $\text{CH}_3$  de acetilos ;  $1227\text{ cm}^{-1}$  banda de estiramiento O-C-(O)-C ;  $1082\text{ cm}^{-1}$  Estiramiento antisimétrico de C-O-C ;  $781\text{ cm}^{-1}$  banda de  $-(\text{CH}_2)_n$  en cadena ;  $535\text{ cm}^{-1}$  banda de estiramiento de O-H.

Para determinar si la banda a  $1708$  y  $1648\text{ cm}^{-1}$  corresponden a un grupo éster y amida, el exopolisacárido se trató con NaOH al 3 % y se calentó a baño María por 3h/ $95\text{ }^\circ\text{C}$  y, permitiéndose enfriar a temperatura ambiente por una hora y media para posteriormente introducirlo a la estufa por 24 h/ $100\text{ }^\circ\text{C}$ ; al término de este tiempo se realizaron pastillas de KBr y se obtuvo su espectro (figura. 3.7).

En este espectro cual observamos la obtención de señales de bandas anchas a  $3420\text{ cm}^{-1}$  debido al grupo  $\text{COO}^- \text{Na}^+$  y, a  $1654\text{ cm}^{-1}$  que corresponde a un estiramiento de carbonilo C-O de amida ;  $1438\text{ cm}^{-1}$  que corresponde a un estiramiento simétrico C-H.

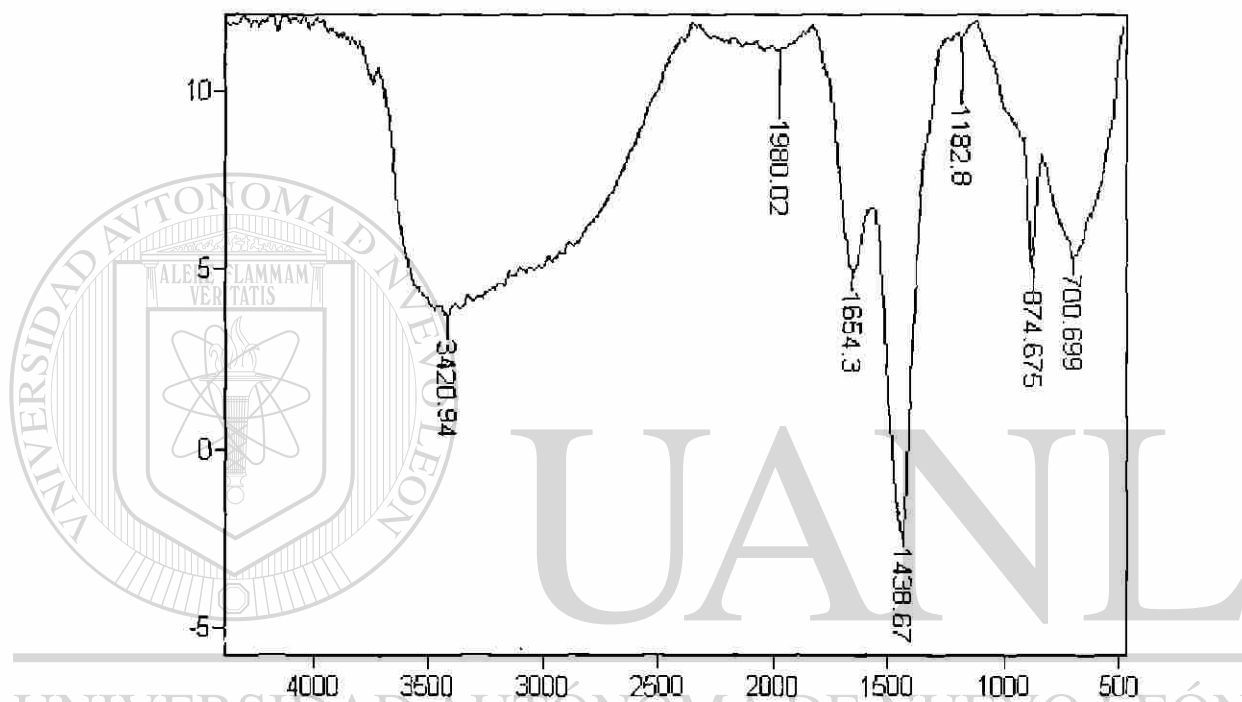


Fig. 3.7 Espectro de infrarrojo del EPS tratado con NaOH al 3%.  $3420\text{ cm}^{-1}$  banda de estiramiento de O-H ;  $1654\text{ cm}^{-1}$  banda de estiramiento de carbonilo C-O-C, C=O ;  $1438\text{ cm}^{-1}$  banda de flexión C-H ;  $874\text{ cm}^{-1}$  Substitución de aromáticos C-H.

Los cambios ocurridos en las señales del espectro después de hidrolizar la muestra nos confirman la presencia de los enlaces esteres presentes en la estructura del EPS ya que desapareció la señal a  $1708\text{ cm}^{-1}$  que corresponde a este grupo, y además la señal de amida que esta a  $1654\text{ cm}^{-1}$  disminuyo la cual se presentaba como un pico de mayor intensidad debido a que la hidrólisis provocó la ruptura del enlace amida obteniendo un enlace de baja energía. Aun con la ayuda de los espectros de infrarrojos no podemos precisar la posición que ocupan los grupos funcionales en la estructura.

Lo que si podemos confirmar es que la señales del espectro de FT-IR del exopolisacárido fueron siempre repetitivas, lo que nos confirma que el proceso de producción es confiable y que el microorganismo se mantuvo puro durante todas las fermentaciones realizadas. La figura 3.8 representa la comparación de ambos espectros en donde se puede observar más detalladamente los cambios ocurridos.

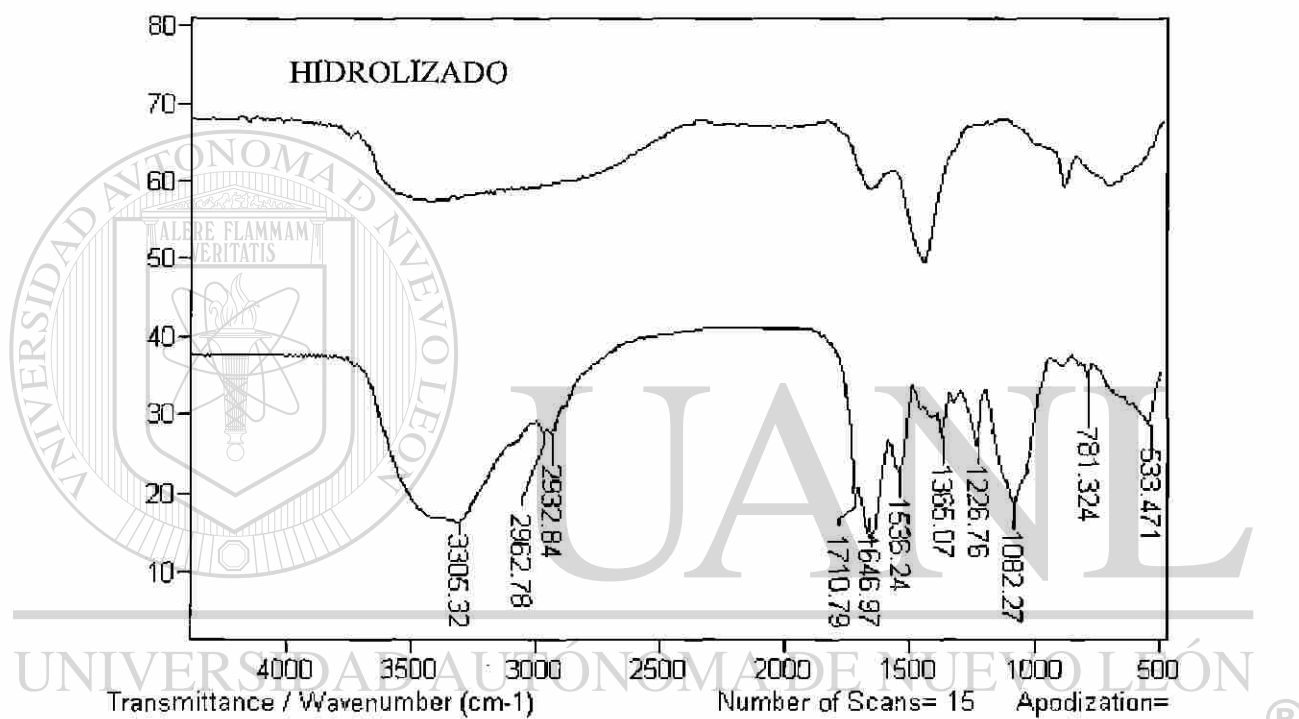


Fig. 3.8 Espectros del exopolisacárido hidrolizado y sin hidrolizar.

### 3.6 ANÁLISIS TÉRMICO DEL EXOPOLISACÁRIDO

Los resultados de los análisis térmicos realizados a las muestras de biopolímero obtenidas por precipitación con etanol al 99.5 % a los tiempos de 3, 15 y 24 horas se presentan en las figuras 3.9, 3.10 y 3.11. La figura 3.9 que representa la muestra de exopolisacárido obtenida a las 3 hrs de la fermentación presenta 4 pérdidas de peso; la primera se presenta a 50.96°C (A) con una pérdida de peso del 3.1%, la cual se le atribuye a restos de sustancias volátiles o agua adsorbida (humedad);

la segunda se presenta a 158.65°C (B) con una pérdida de peso del 11.7%, la cual se le atribuye a agua de hidratación; la tercera se presenta a 223.80°C (C) con una pérdida de peso del 22.38%, la cual se debe a la descarbonización del material; la cuarta se presenta a 306.7°C (D) con una pérdida de peso del 36.7%, la cual se debe a descomposición del material. Los primeros dos eventos son picos endotérmicos debido a la pérdida de agua; esto se concluyó con la ayuda de la primera derivada que se realizó al análisis térmico diferencial, mientras que los últimos dos eventos son exotérmicos esto también ayudado por la primera derivada la cual nos permite resaltar o afinar un evento químico o físico que está pasando (ver apéndice XX). La figura 3.10 representa la muestra de exopolisacárido obtenida a las 15 hrs, en donde se observan cinco pérdidas de peso, el primero se presenta a los 51°C (A) la cual se debe a restos de sustancias volátiles o agua adsorbida con una pérdida del 4.95%, la segunda se presenta a 137.5°C (B) debido a la desincorporación de agua de hidratación y con una pérdida de peso del 10.3%; la tercera y la cuarta se presentan a 236.5 °C (C) y 258.65°C (D) con una pérdida de peso del 23.62 y 28.57% debido a carbonización del material; la quinta se presenta a 300.96°C (E) debido a descomposición del material con una pérdida de peso del 43.8%, los primeros dos eventos son endotérmicos debido a la liberación del agua y los últimos tres son exotérmicos, esto se visualizó ayudado con la primera derivada realizada al análisis térmico diferencial. La figura 3.11 representa la muestra de exopolisacárido obtenida a las 24 hrs, esta presenta 4 pérdidas de peso; la primera se presenta a 51°C (A) con una pérdida de peso del 4.65% la cual se le atribuye a restos de sustancias volátiles o pérdida de agua adsorbida; la segunda se presenta a 210.58°C (B) con una pérdida de peso del 13.41% la cual se le atribuye a la pérdida de agua de hidratación; la tercera se presenta a 267.3°C (C) con una pérdida de peso del 27.51% la cual se debe a carbonización del material; la cuarta se presenta a 306.73°C (D) con una pérdida de peso del 44.12% la cual se debe a la descomposición del material residual o degradación de la columna principal del exopolisacárido (EPS), los primeros dos eventos son endotérmicos y los últimos dos son exotérmicos, en donde se concluye que todos los cambios son debidos a descomposiciones o volatilizaciones debido a que los cambios de peso que se generan van acompañados de picos exotérmicos y endotérmicos lo cual nos indica que no se presenta fusión alguna del material.

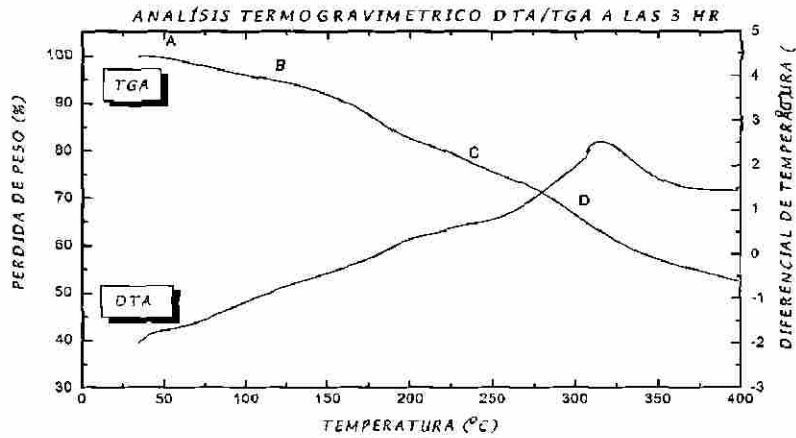


Fig. 3.9 Análisis térmico del EPS a las 3 Hrs

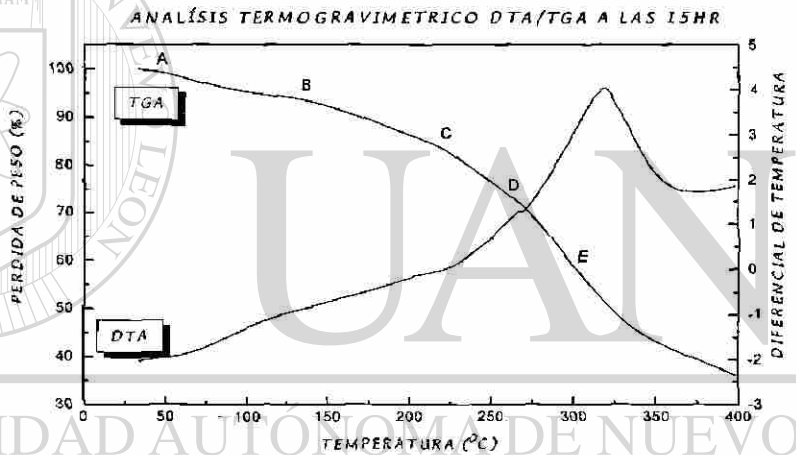


Fig. 3.10 Análisis térmico del EPS a las 15 Hrs

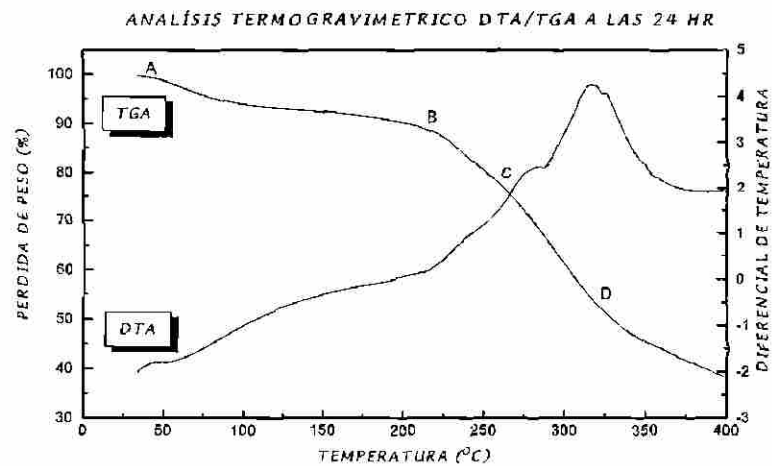


Fig. 3.11 Análisis térmico del EPS a las 24 Hrs

Estos cambios graduales de temperaturas de descomposición nos da información acerca de la relación que existe entre la estructura y sus propiedades físicas estableciéndose que a medida que transcurre el tiempo de fermentación hay una formación de exopolisacárido. Esta formación, da como consecuencia que la red polimérica se haga más estable. El ultimo resultado de temperatura de descomposición (24 hrs) se comparo con los resultados de biopolímeros de otros investigadores (tabla 3.6).<sup>[30]</sup> En donde podemos establecer que el biopolímero de nuestra muestra tiene cualidades de alta resistencia a temperaturas de descomposición

Tabla 3.6 Comparación de temperaturas de descomposición de diferentes biopolímeros.

COMPUESTO	TEMPERATURA FINAL (°C)	PERDIDA DE PESO (%)
Quitosan <sup>[30]</sup>	332.3	47.7
Hidroxibutil quitosan <sup>[30]</sup>	340.1	71.3
celulosa <sup>[36]</sup>	260	
EPS	306.73	43.1

### 3.7 ANÁLISIS DEL AGENTE POLIMERIZANTE POR ABSORCIÓN ATÓMICA

De las muestras de exopolisacárido obtenidas y analizadas por absorción atómica se obtuvieron los siguientes resultados :

Tabla 3.7 Concentración de iones metálicos divalentes en el EPS.

ELEMENTO	% EN PESO
Calcio	2.52
Magnesio	0.83

Estos resultados nos confirman la presencia de que ambos elementos están unidos al polímero ya que después de obtener el exopolisacárido por precipitación este se seco y se limpio con etanol mediante reflujo para eliminar proteínas y constituyentes inorgánicos no unidos a la red, lo cual sugiere que estos elementos inorgánicos forman parte integral de la red en mayor cantidad y, puede ayudar a que el exopolisacárido sea

más estable térmicamente y presente propiedades físicas de mayor interés como agente polimerizante. Este breve estudio se comparó con otro biopolímero reportado en literatura<sup>[2]</sup>

Tabla 3.8 Comparación de los elementos encontrados en % en peso con la goma de xantano.

EXOPOLISACÁRIDO	Ca <sup>2+</sup> (% peso seco)	Mg <sup>2+</sup> (% peso seco)
Xantana <sup>[2]</sup>	0.1-0.15	-
EPS Kp	2.52	0.83

### 3.8 ANÁLISIS DEL EXOPOLISACÁRIDO POR RMN.

De las muestras enviadas (blanco y muestra), para resonancia magnética nuclear solo se pudo obtener resultados de <sup>1</sup>H RMN. El resultado (figura 3.13) nos muestra 2 regiones principalmente de carbohidratos, la primera esta entre 0 a 3 ppm y la segunda se encuentra de 3 a 4.5 ppm esto se establece por la conjunción o agrupación de las señales de los protones pero, no se puede establecer a que estructura y a que monosacáridos se deba o se encuentren presentes., más si podemos decir que los espectros mantuvieron siempre una concordancia en sus señales de <sup>1</sup>H RMN.





Fig. 3.12 Espectro de  $^1\text{H}$  RMN del blanco (agua deuterada/NaOH)



Fig. 3.13 Espectro de  $^1\text{H}$  RMN de la muestra.

## 3.9 ANÁLISIS DE LA VISCOSIDAD DEL EXOPOLISACÁRIDO.

Los resultados obtenidos de las viscosidades del exopolisacárido con diferentes rotores y, velocidades de rotación se presentan en la tabla 3.1.3 y, en la figura XX. La curva resultante nos indica la conducta y el tipo de flujo que exhibe el exopolisacárido, en la cual se aprecia que la viscosidad se incrementa conforme aumenta la velocidad de rotación de los 3 diferentes rotores empleados. Este tipo de conducta se conoce como dilatante o "shear-thickening" siendo frecuentemente observado en fluidos que contienen altos niveles de sólidos defloculados tales como pastas cerámicas, gomas en agua etc.<sup>[31]</sup>

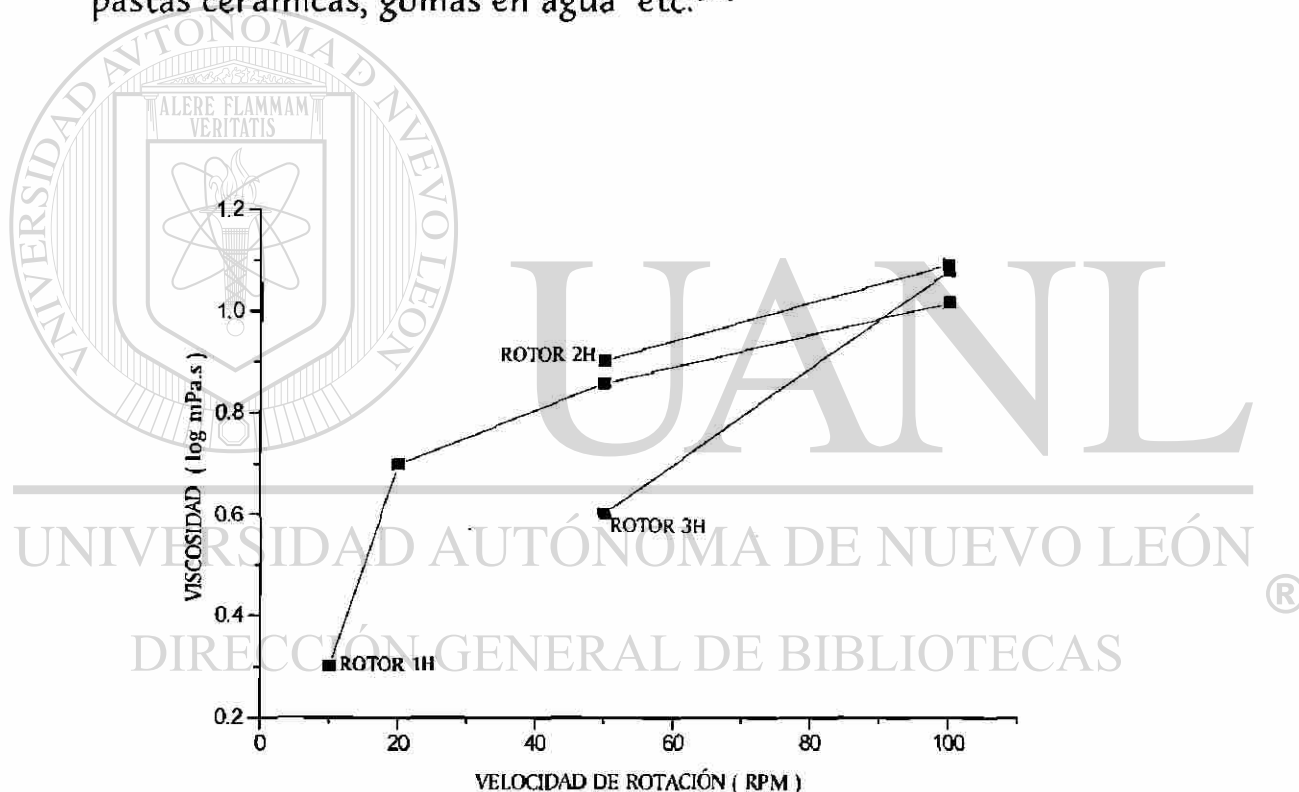


Fig. 3.14 Viscosidad del exopolisacárido en función de la velocidad de rotación del viscosímetro.

TABLA 3.9 Resultados de las viscosidades obtenidas con diferentes velocidades de rotación con 3 diferentes rotores.

ROTOR	VELOCIDAD (RPM)	VISCOSIDAD (log mPa.s)
1H	10	0.3010
	20	0.6989
	50	0.8573
	100	1.0170
2H	50	0.9031
	100	1.0791
3H	50	0.6020
	100	1.0791

### 3.10 CROMATOGRAFÍA

los resultados de la cromatografía de papel realizado en silica gel son los siguientes:

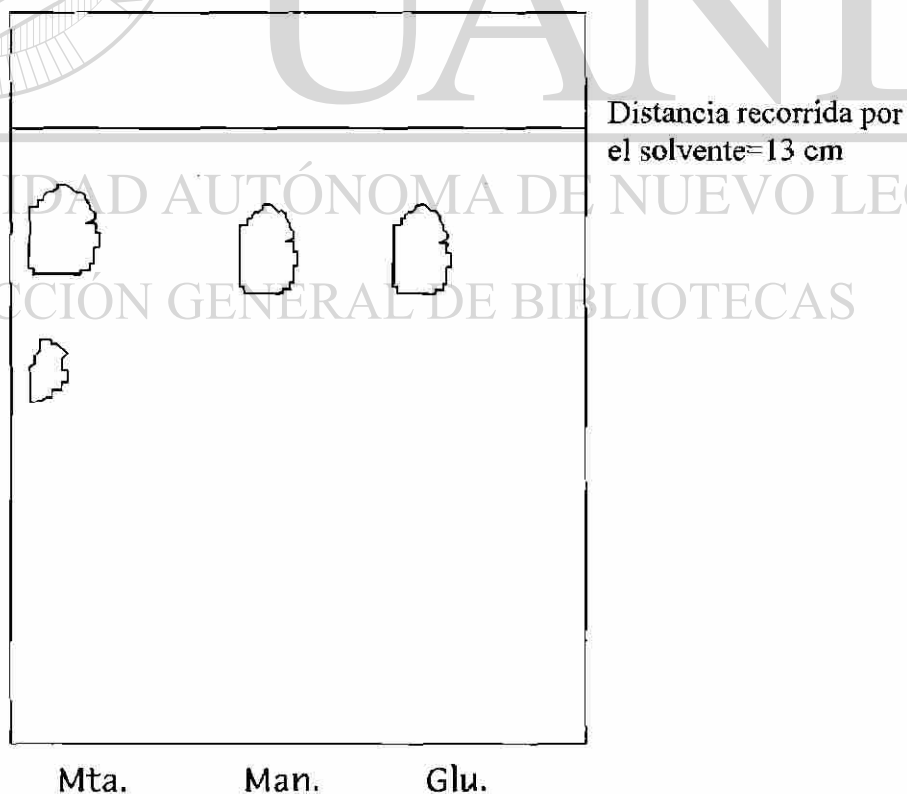


fig. 3.15 Resultados de la cromatografía en papel.

Tabla 3.10 Comparación de los  $R_f$  de la muestra y estándares de azúcares.

COMPONENTE	$R_f$ EXPERIMENTAL	$R_f$ REPORTADO
Muestra	0.58 y 0.36	
manosa	0.61	0.76 <sup>[29]</sup>
Glucosa	0.59	0.70 <sup>[29]</sup>
Galactosa	-	0.60 <sup>[29]</sup>
Ac. glucuronico		0.32 <sup>[29]</sup>

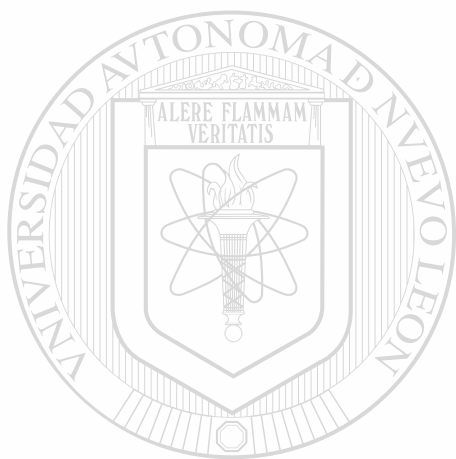
Con los datos experimentales de  $R_f$  de la muestra y de los estándares podemos predecir que en nuestro biopolímero se encuentran grupos de glucosa y manosa principalmente, la mancha inferior que nuestra muestra arrastró se comparo con bibliografía y se encontró cierta concordancia con el  $R_f$  experimental de ácido glucurónico por lo que cabría la posibilidad de que estuviese presente

### CONCLUSIONES

Los resultados reportados del exopolisacárido a partir de microorganismo *Klebsiella pneumoniae* pueden ser considerados como un significativo avance en sus estudios físicos y químicos. Esta afirmación se basa en las siguientes observaciones:

- I-. El exopolisacárido es producido con una cinética constante y aunque la producción de EPS no llegó a ser la óptima esto da paso a estudios posteriores para que se incremente la producción.
- II-. El polisacárido posee características químicas estables, una gran ventaja si este se llega a producir en masa para aplicación industrial.
- III-. El polisacárido presenta una viscosidad de fluido dilatante similar al comportamiento de la goma de xantano<sup>[2]</sup>
- IV-. El polisacárido posee una temperatura de descomposición alta, la cual es comparable con otros para biopolímeros a partir de microorganismos.
- V-. Se obtuvieron espectros de FT-IR que ayudaran a la elucidación de su estructura ya que se pueden tomar como huellas dactilares.

- VI-. Estas observaciones no toman en cuenta el hecho de que para el crecimiento de los microorganismos y producción de exopolisacárido requiere fuentes de carbón y energía que son fuentes renovables y la factibilidad de utilizar materias primas diferentes para su producción .
- VII-. Estos datos experimentales dan la pauta para proseguir y conocer más sobre el comportamiento y la formación del exopolisacárido ya que es indiscutible que el desarrollo tecnológico de vanguardia lo exige.

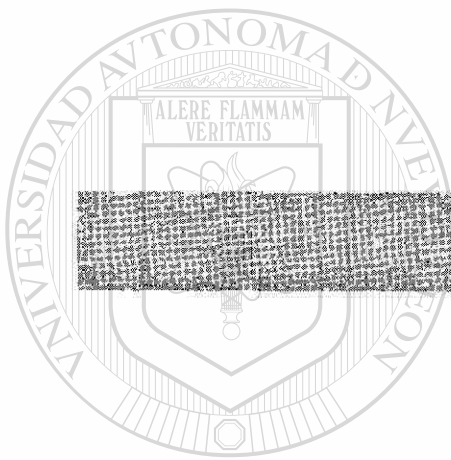
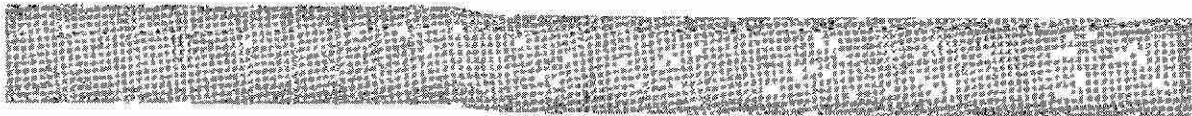


# UANL

UNIVERSIDAD AUTÓNOMA DE NUEVO LEÓN



DIRECCIÓN GENERAL DE BIBLIOTECAS



APENDICE

UANL

---

UNIVERSIDAD AUTÓNOMA DE NUEVO LEÓN



DIRECCIÓN GENERAL DE BIBLIOTECAS

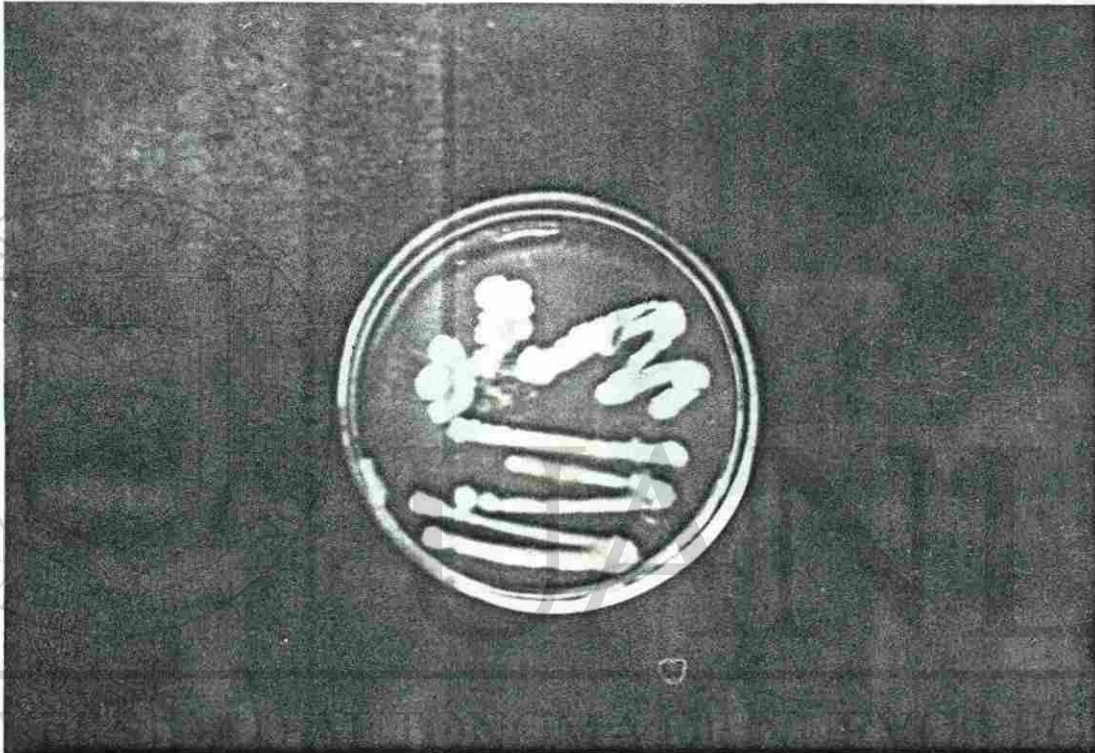


Figura 1a.-Crecimiento característico de *Klebsiella pneumoniae* en agar nutritivo.

DIRECCION GENERAL DE BIBLIOTECAS



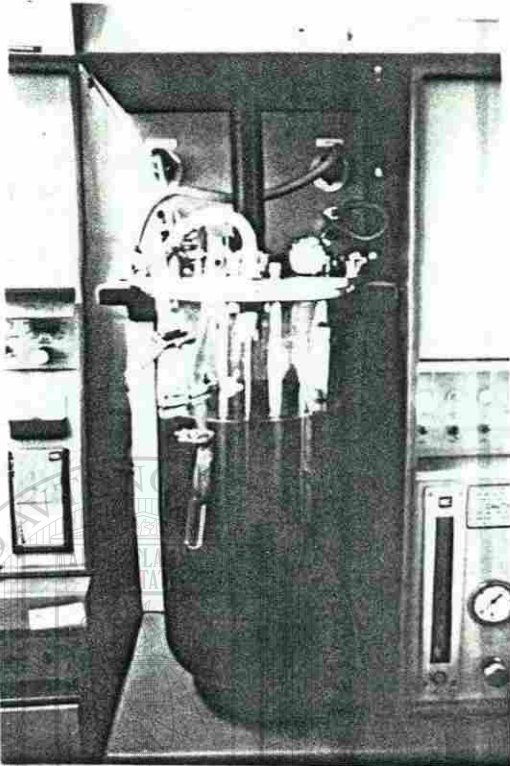


Figura 2a-.Medio de cultivo estéril.



Figura 3a-.Inoculación del medio de cultivo.



Figura 4a-.Medio de cultivo con alta viscosidad.



UNIVERSIDAD AUTÓNOMA DE NUEVO LEÓN  
DIRECCIÓN GENERAL DE BIBLIOTECAS



Figura 5a.-Proceso inicial de separación del exopolisacárido.

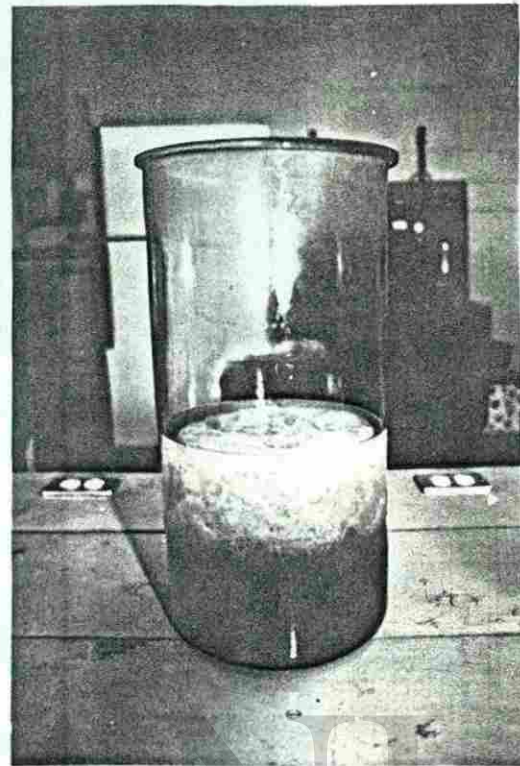


Figura 6a.-Proceso intermedio de separación del exopolisacárido.

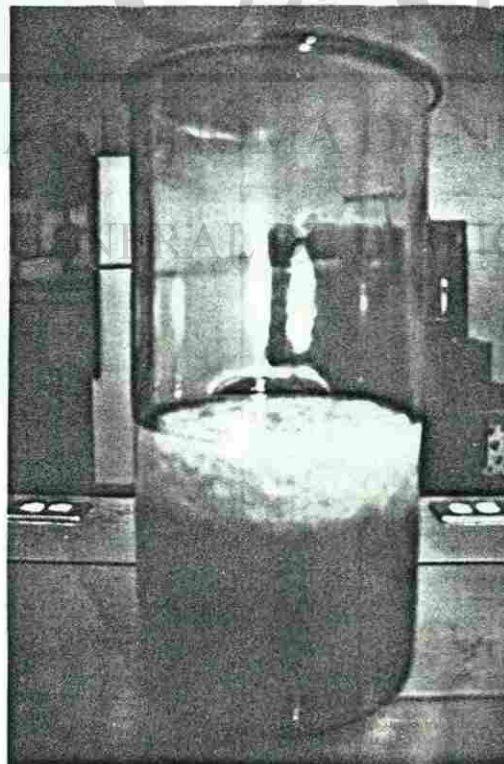


Figura 7a.-Proceso final de separación del exopolisacárido.

UNIVERSIDAD

QUEVO LEÓN

DIRECCIÓN

DE BIBLIOTECAS

®

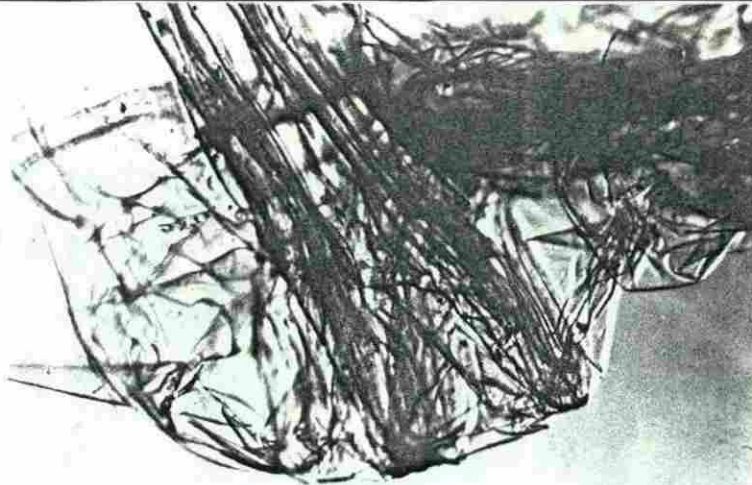


Figura 8a.-Observación microscópica de la película (objetivo 100X).



Figura 9a.-Película diferente área de exposición (objetivo 100X).

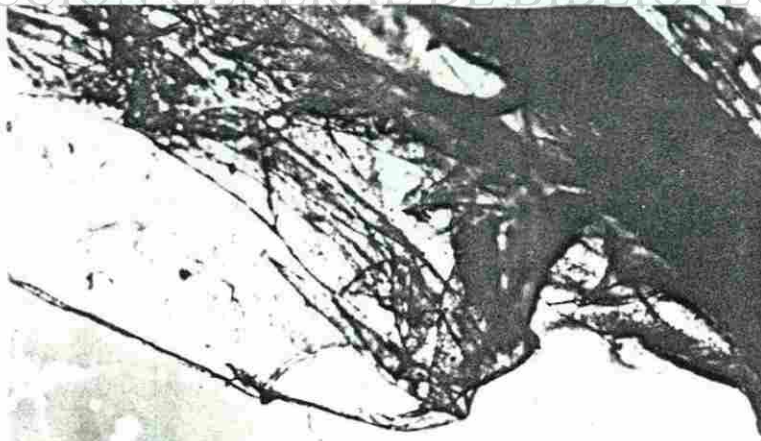


Figura 10a.-Película diferente ángulo (objetivo 100X).

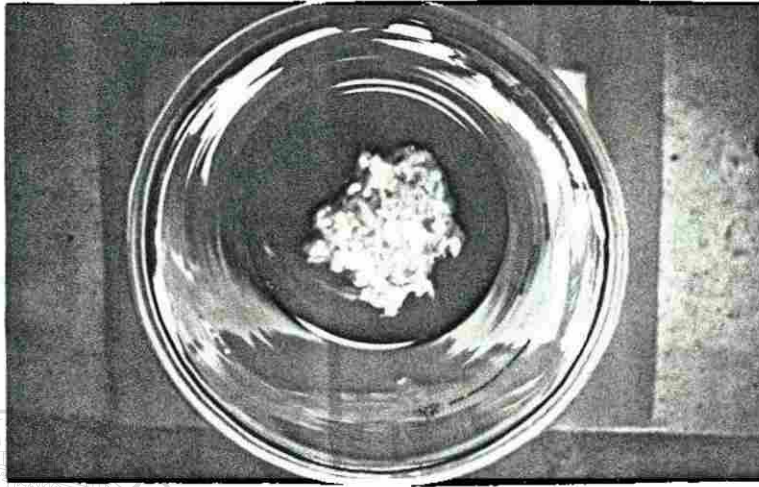


Figura 11a.-Separación del exopolisacárido en fase alcohólica.

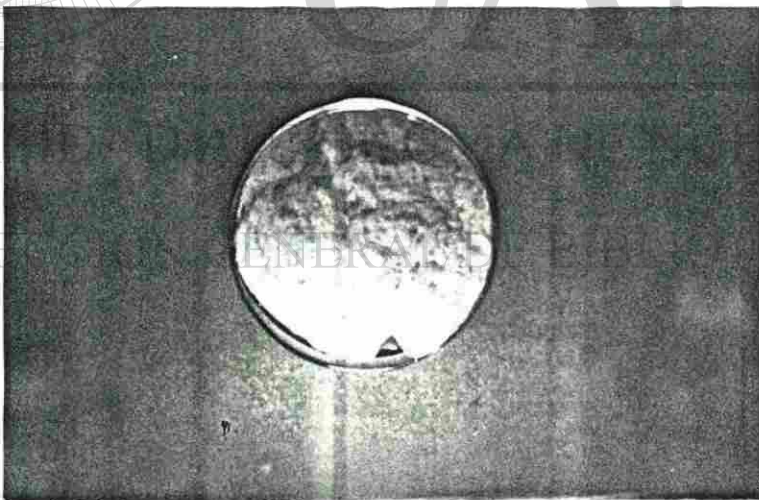
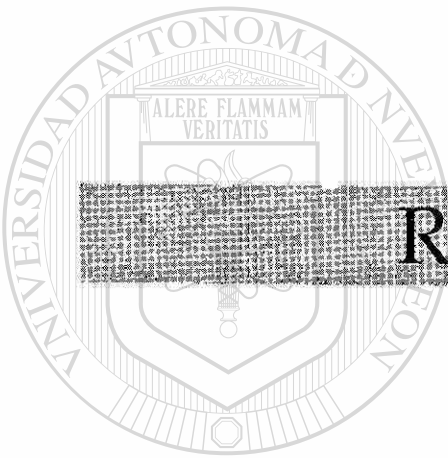


Figura 12a.-Exopolisacárido seco



# REFERENCIAS

UANL

---

UNIVERSIDAD AUTÓNOMA DE NUEVO LEÓN



DIRECCIÓN GENERAL DE BIBLIOTECAS

## REFERENCIAS

---

1. Petersen, G.R.; Nelson, G :A.; Cathey, C.A.; Fuller, G.G. "Rheological Interesting Polysaccharides From Yeast." Applied Biochem. And biotechnol., (1989) Vol.20/21 pp.845-867.
2. Sutherland,I.W.; "Structure-Function Relationships In Microbial Exopolysaccharides" Biotech.Adv. (1994) Vol.12, pp. 393-448.
3. Hocking, P.J.; Marchessault,R.H. "Biopolyesters"1 Chemical And Technolgy of Biodegradable Polymers. (1994) Blackie academic and profesional an imprint chaphall pp.48-91.
4. Chum,H.L. ; "Polymer From Biobased Materials" Noyes Data Corporation. (1991) pp. 81- 127.
5. Reuber,T.L. ; Urzainqui, J.A. ; Glazebrook, W.J. ; Reed, J.W and Walker, G.C. "Genetic Analyses and Manipulatons of Rhizobium meliloti Exopolisaccharides. Novel Biodegradable Microbial Polymers. (1990) pp. 285-294.
6. Linton, J.D. ; "Physiology of Exopolysaccharides Production" Novel Biodegrable Microbial Polymers. (1990) pp. 311-330.
7. Zevenhuizen, L.P.T.M. ; "Recent Developments in Rhizobium Polysaccharides" Novel Biodegradable Microbial Polymers. (1990) pp. 387-402.
8. Dawes, E.A. ; "Novel Microbial Polymers : Introduction Overview ". Novel Biodegradable Microbial Polymers. (1990) pp. 3-16.
9. Ian W.Sutherland ;"Commercialised Microbial Exopolysaccharides-current polymers and future products". Institute of cell molecular biology, Edimburg university.
10. Soraya A.Sabry, Khaled M.ghanem, Wael A.Sabra. "Effect of nutrients on alginate synthesis in Azobacter vinelandii and characterization of the produced alginate". Microbiología SEM (1996) pp.1-6.

## REFERENCIAS

---

11. Rajendra Kumar Rath, S. Subramanian, and J. S. Laskowski "Adsorption of dextrin and guar gum onto talc. A comparative study Langmuir" (1997) ,13, 6260-6266.
12. Fernando Martínez-Checa, Concepción Calvo, M. Angeles Caba, M. Rita Ferrer, Victoria Bejár, Emilia Quesada. "Efecto de las condiciones nutricionales sobre la viscosidad y capacidad emulgente del biopolímero V2-7 de Volcaniella eurihalina. Microbiología SEM 12(1996) pp.55-60.
13. Magali C. Cammarota and Geraldo L. Sant'anna Jr. " Metabolic blocking of Exopolysaccharides synthesis : effects on microbial adhesion and biofilm accumulation". Biotechnology Letters. Vo 20, No 1, 1998 pp.1-4.
14. Jacqueline I : Kroschwitz " Encyclopedia of polymer science and engineering" A. Wiley-Interscience Publication 1990 pp.1299-1306
15. West, Anthony R. "solid state chemistry and its applications" Ed. John Wiley and Sons (1984) pp.102-115
16. V. Crescenci, M. Rentini, T. Coviello "solution and gelling properties of microbial polysaccharides of industrial interest: The case of gellan." novel Biodegradable microbial polymers(1990) pp.277-284.
17. M. Vincenzini, R. de Philipps, C. Sili and R. Materassi "A novel EPS from a filamentous cyanobacterium : Production, chemical characterization and rheological properties" Novel biodegradable microbial polymers(1990) pp.295-310
18. Veneta I. Groudeva, Stoyan N. Groudev "Microorganisms improve kaolin properties" American Ceramic Society (1995) vol.74 N.6 pp.85-89,
19. Gilles Lefebvre, Magali Rocher and Gerhart Braunegg. "Effects of low dissolved-oxygen concentrations on poly-(3-hydroxybutyrate-co-3-hydroxyvalerate) production by *Alcaligenes eutrophus*.

## REFERENCIAS

---

20. D.Lohman "Structural diversity and funcional versatility of polisaccharides" Novel Biodegradable Microbial Polymers (1990) pp.333-348
21. Frobisher ; Hinsdill, Crabtree ; Goodheart. "Fundamentals of Microbiology" 9<sup>th</sup> edition (1974 )W .B Saunders company pp.770-772
22. Arnold L. Demain and Nadine A. Solomon (Editors) " Manual of Industrial Microbiology and biotechnology". American society for microbiology (1986)
23. Pelczar M.J ; Reid R.G ; Chan E.C.S "Microbiología " 4<sup>ta</sup> edición (1982) Editorial McGraw-Hill pp. 102-117
24. R.M Silverstein ; G.clayton Bassler ;Terence V. Morrill "Spectrometric Identification of Organic Compounds" fifth edition John Wiley and Sons Inc. 1991
25. P.J.Haines "Thermal Methods of Analysis" principles, aplicaciones and problems Chapman Hall 1995.
26. Quintero R. Rodolfo "Prospectiva de la biotecnología en México" fundación javier barros sierra, conacyt 1985 pag. 61-95
27. James S. Swnehart "Organic chemistry an experimental approach Meredith corporation 1969 USA pag.484-487
28. Bohinski Robert C. "Bioquímica" fondo educativo interamericano 1986 pag. 12-32,
29. Gunter Zweig, Joseph Sherma Vol II "paper chromatography" Academic press 1971 pag.6-27, 30-84, 152-169.
30. Macossay T. Javier " synthesis and characterization of water soluble chitosan derivates Louisiana state university and agricultural and mechanical college (1995)



## REFERENCIAS

---

31. Brookfield Engineering laboratories “ More solution to sticky problems”
32. Robert R. Murray, R .A.Mayes ;D.K. Granner ;V.W.Rodwell  
Bioquímica de Harper” 13<sup>ava</sup> edt. Editorial manual moderno  
1994 pag. 162-168.
33. R.C.Fuller “Bacterial polyester :past, present and future”  
Novel Biodegradable Microbial Polymers ; .K.Academic Press.  
1990 ;pag 19-21
34. D.Byron “ Industrial Production Of Copolymer From  
Alcaligenes Eutrophus” Novel Biodegradable Microbial Polymer  
Kluber Academic Publisher 1990, pag. 137-190.
35. B.Witholt ; G.W.Huisman “Bacterial Poly(3-hidroxiakanoates)”  
Novel Biodegradable Microbial Polymer ; kluber Acad. Publisher  
1990. Pag 161-170.
36. David R. Lide “Hanbook Of Chemystri and Physics “ 71 edition  
1990-1991 pag 3-170

---

UNIVERSIDAD AUTÓNOMA DE NUEVO LEÓN

DIRECCIÓN GENERAL DE BIBLIOTECAS

